

Fig. 1

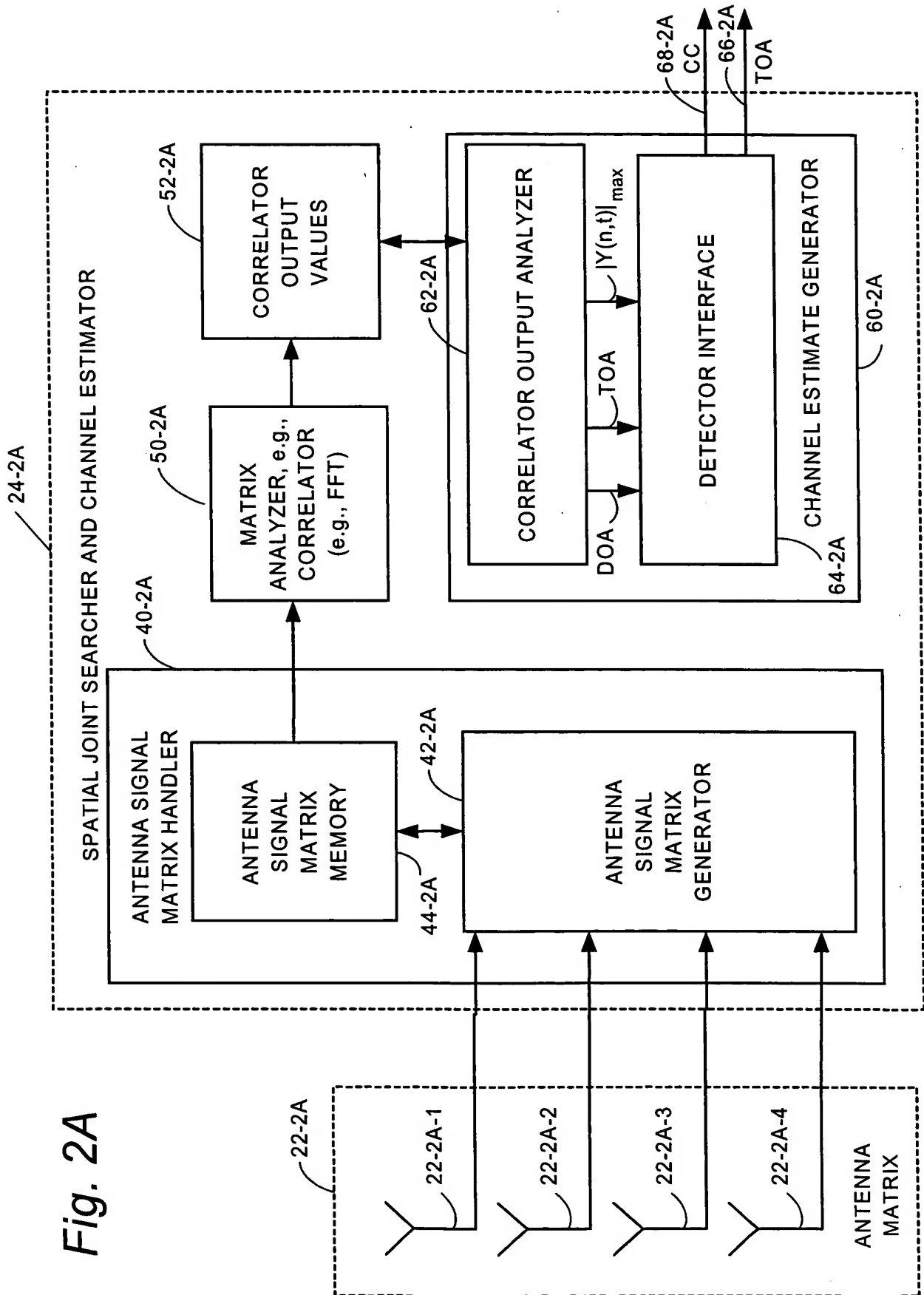
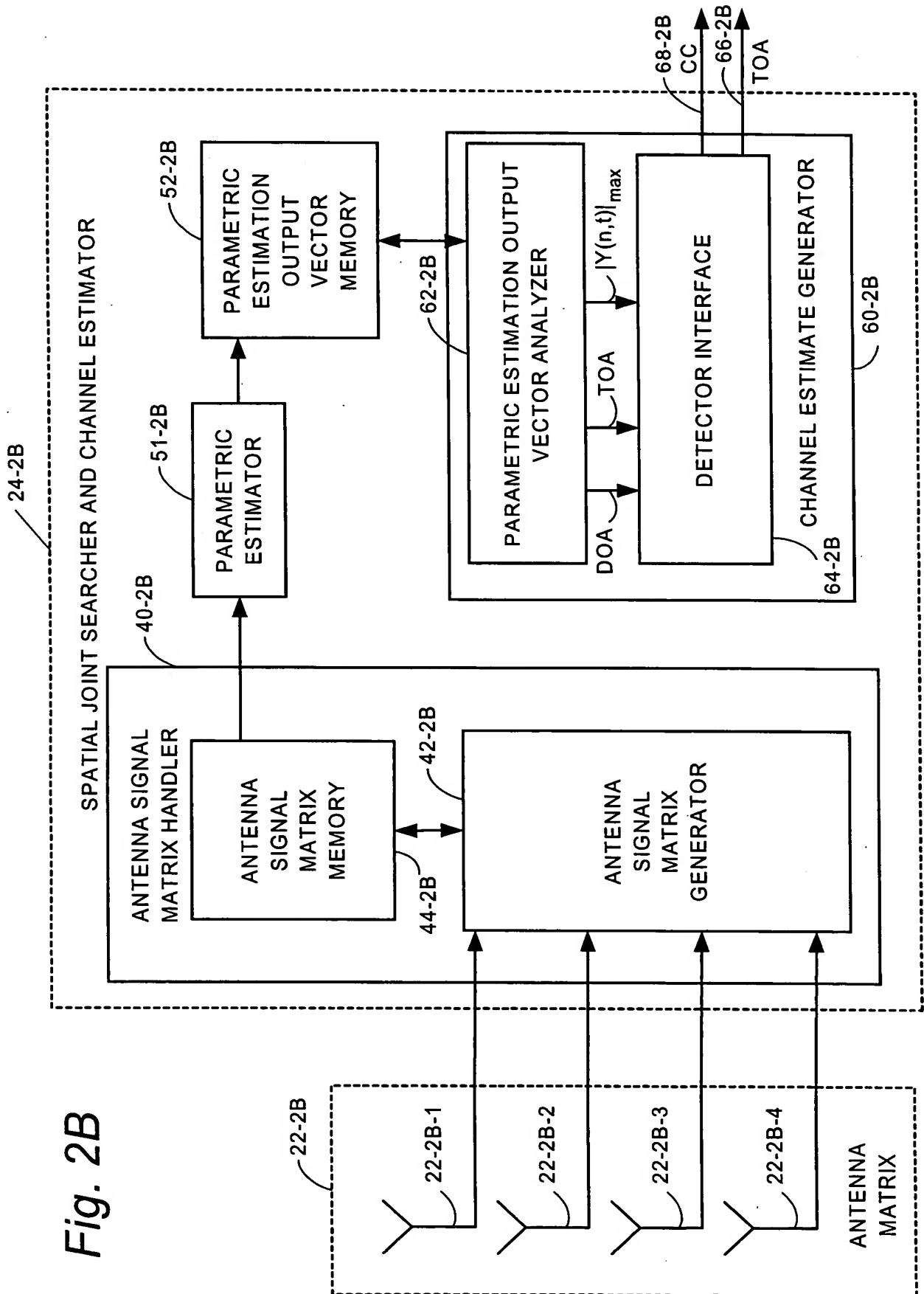


Fig. 2B



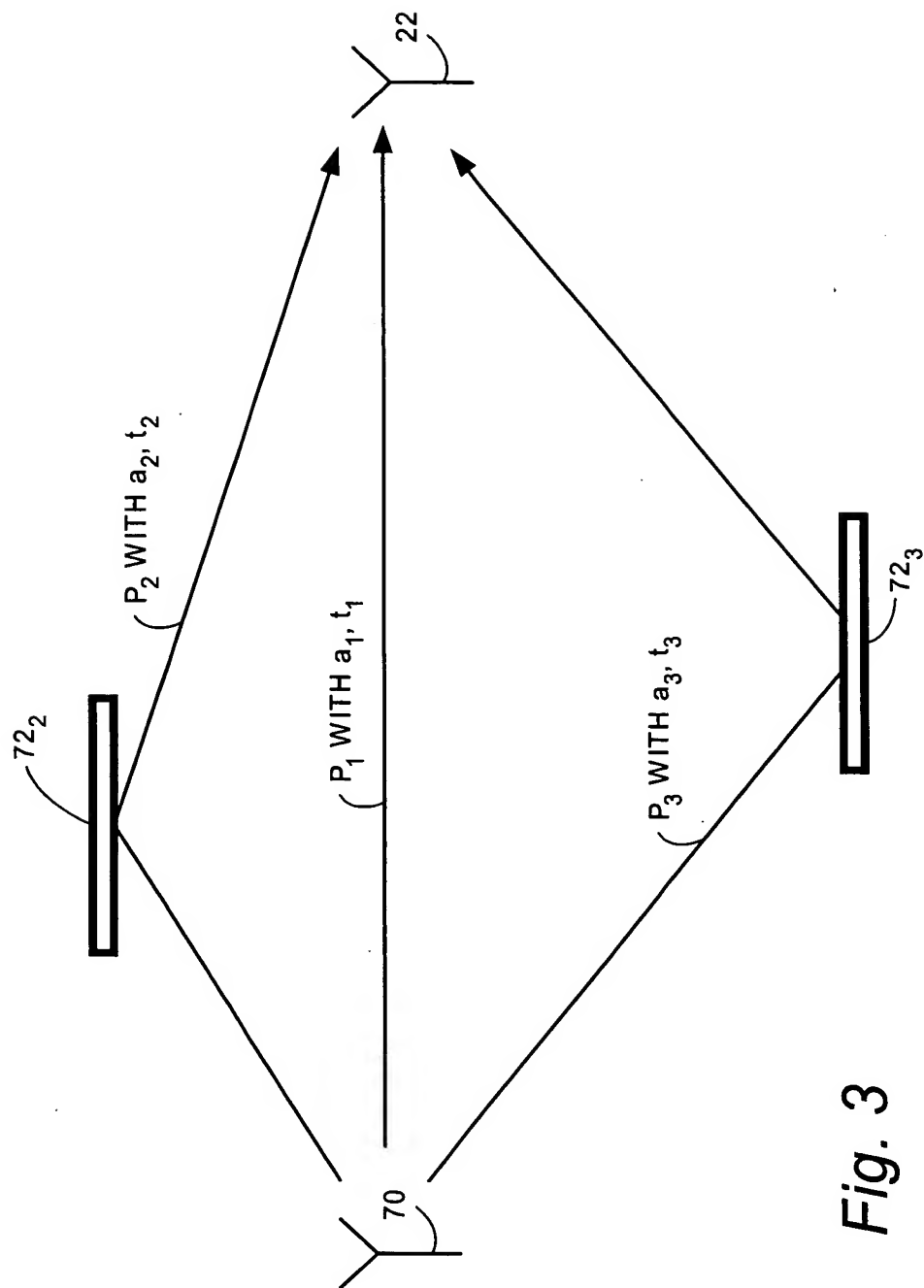
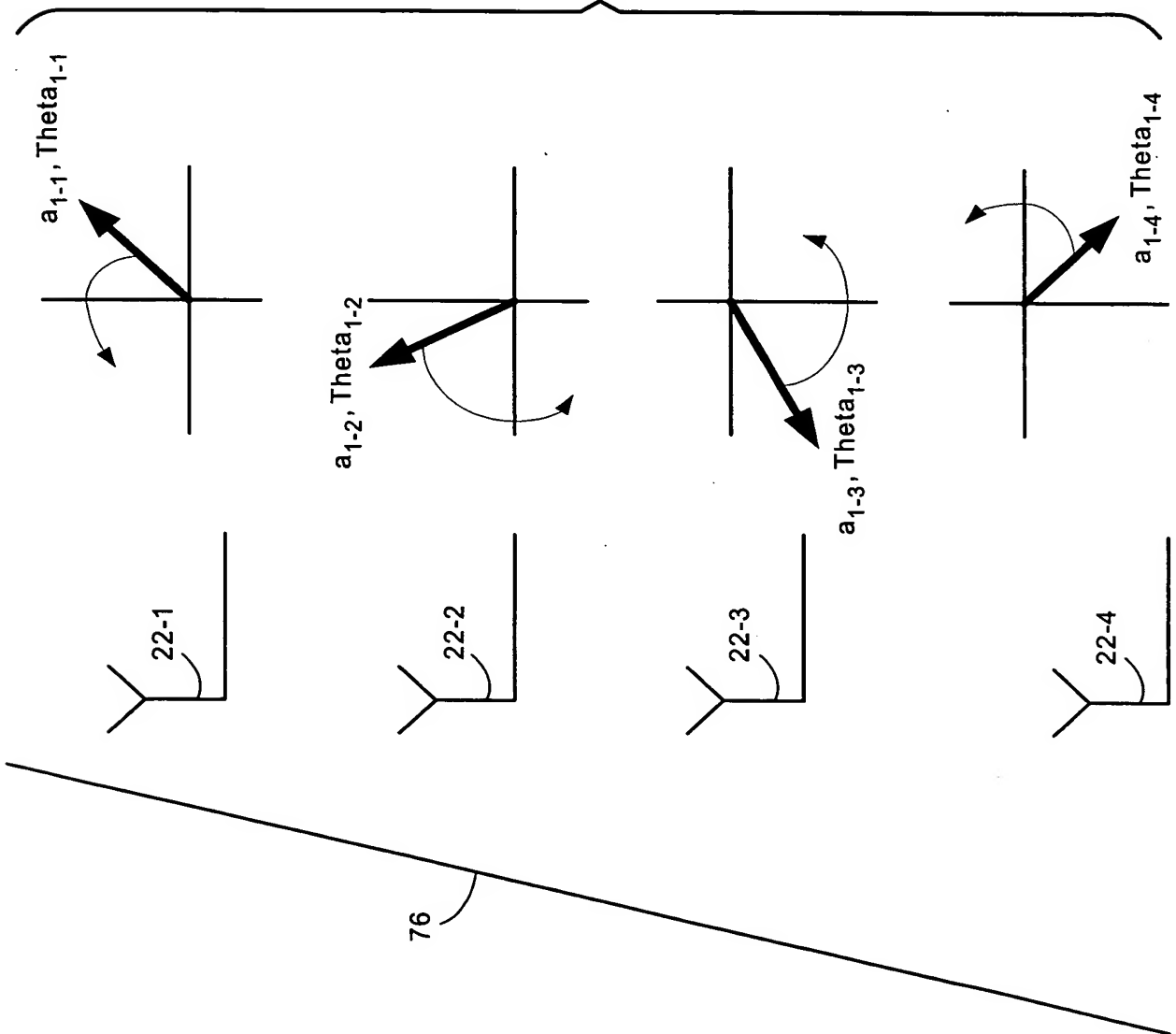


Fig. 3

Fig. 4



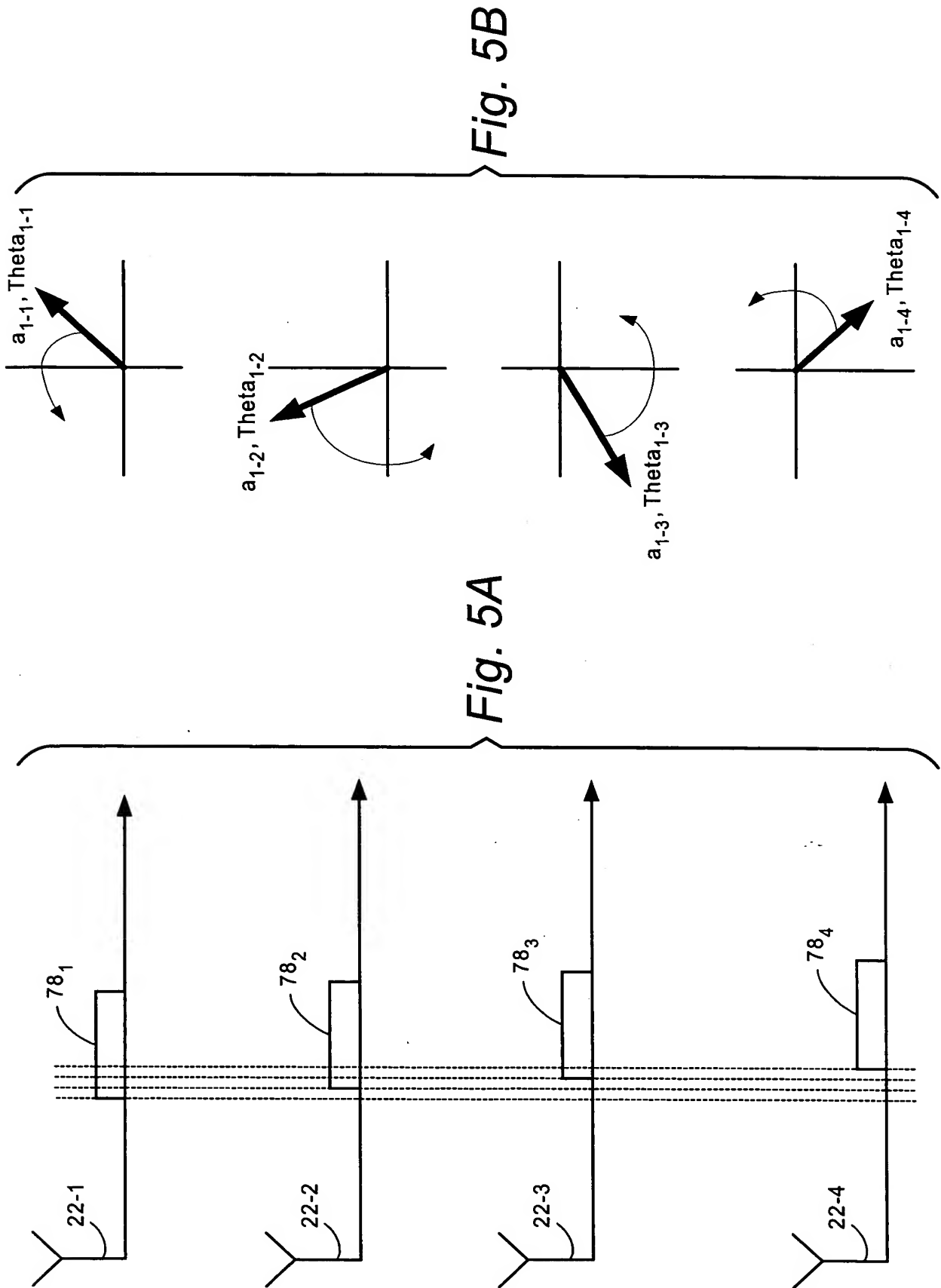


Fig. 5B

Fig. 5A

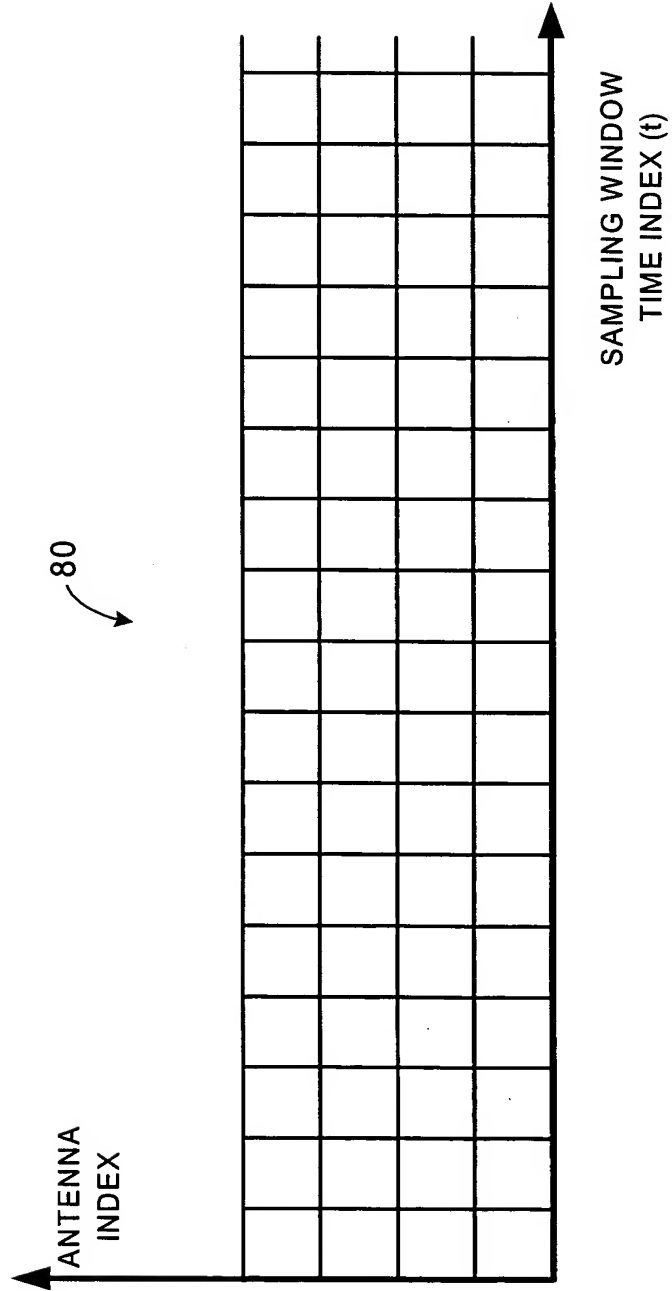


Fig. 6

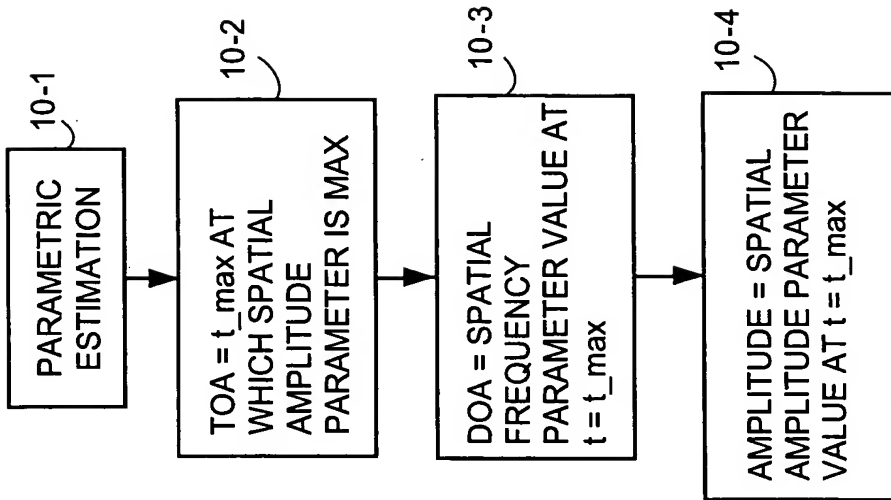


Fig. 10

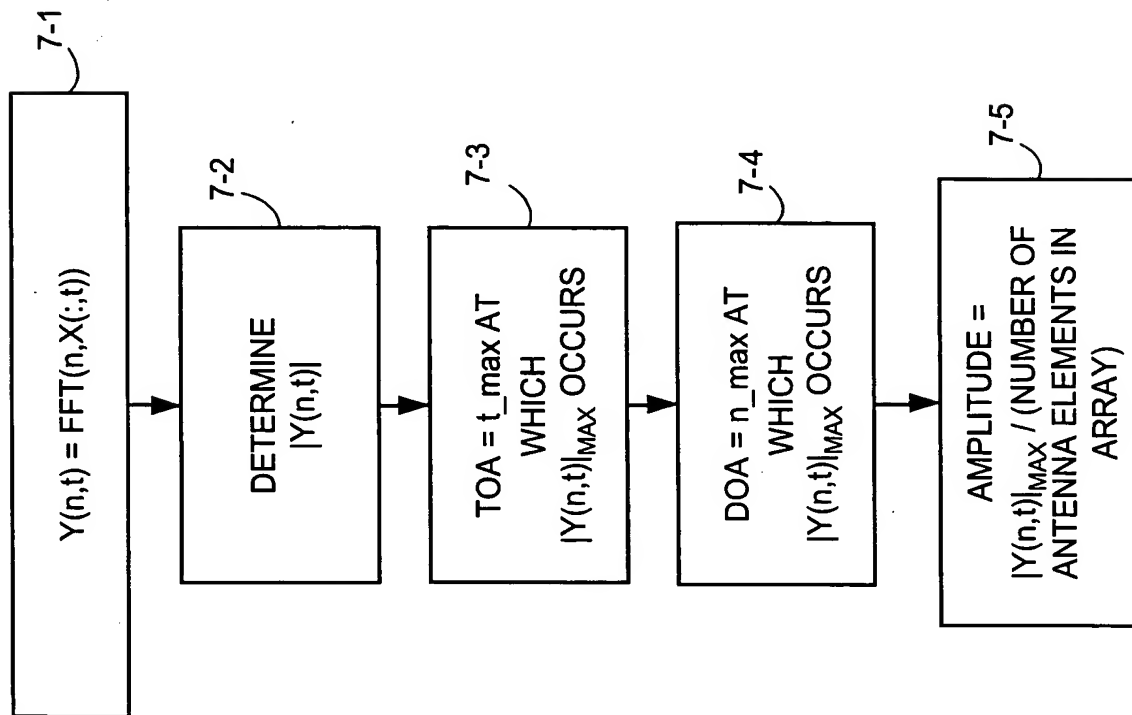


Fig. 7

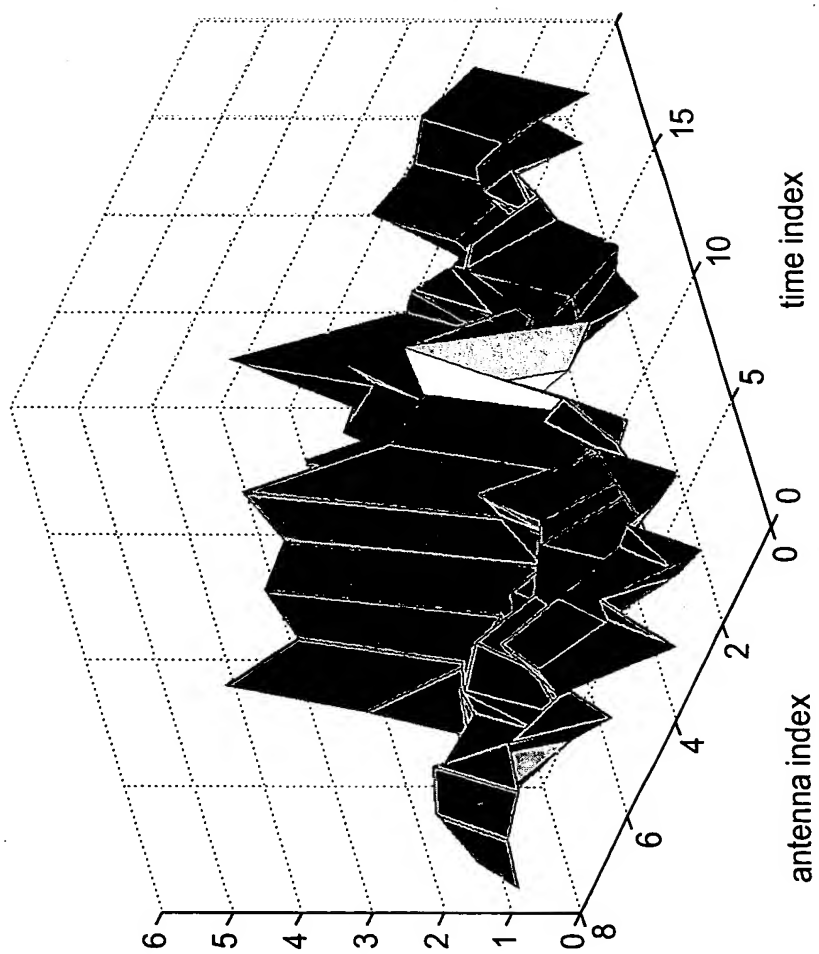


Fig. 8A

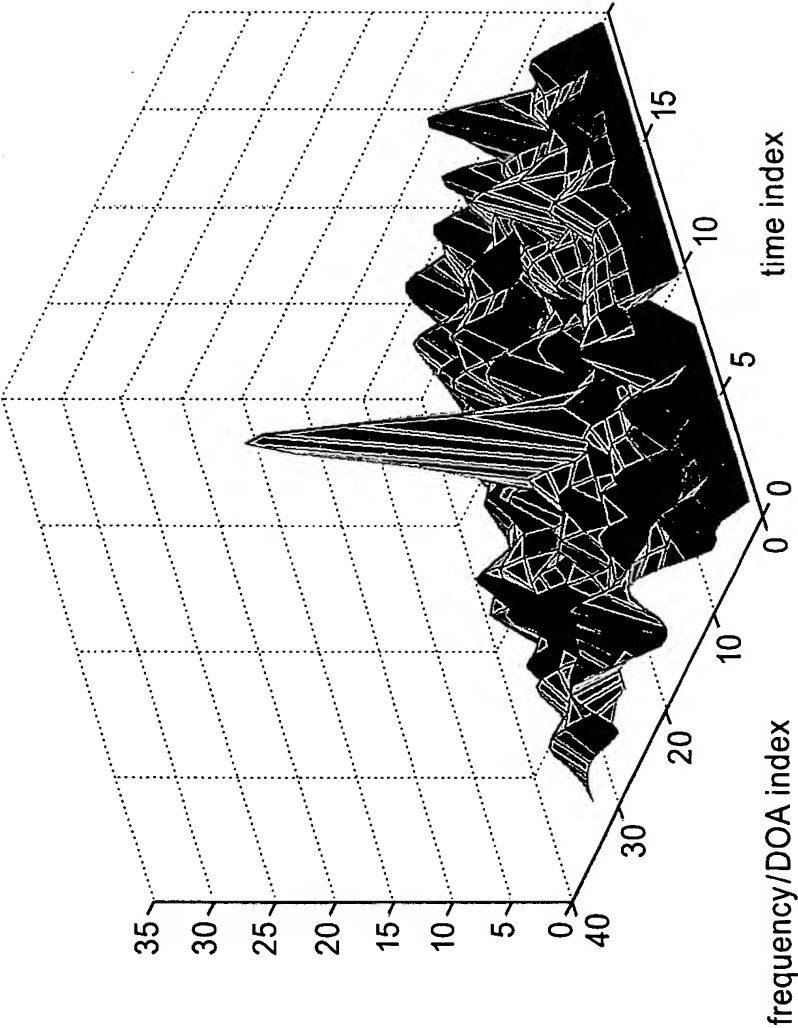


Fig. 8B

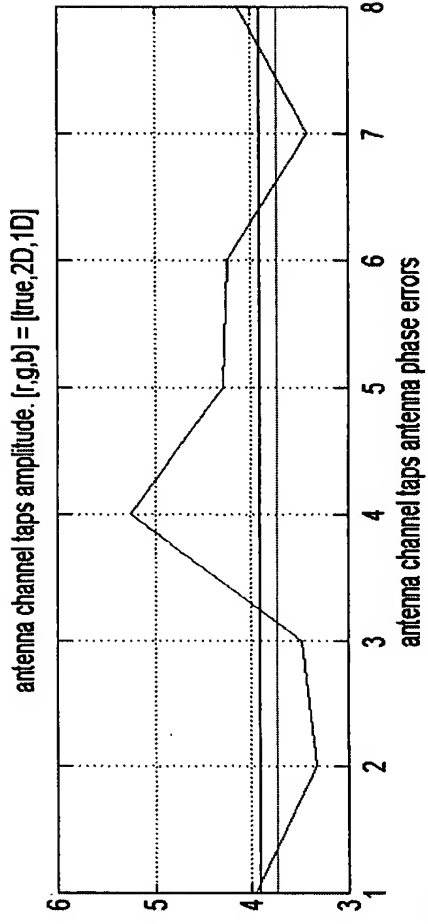


Fig. 8C(1)

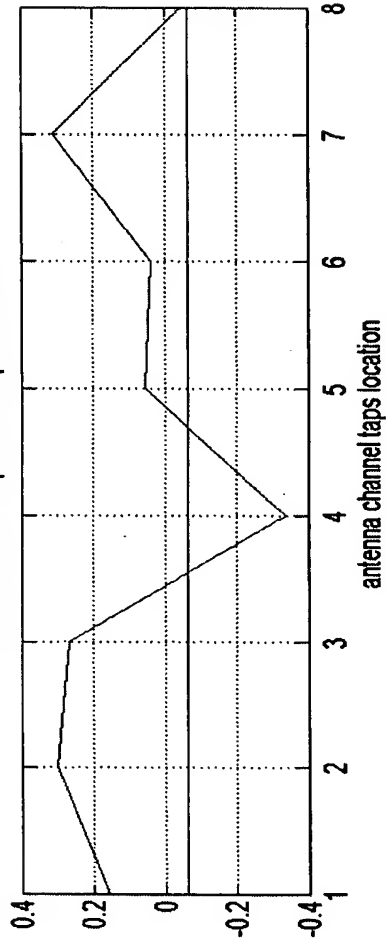


Fig. 8C(2)

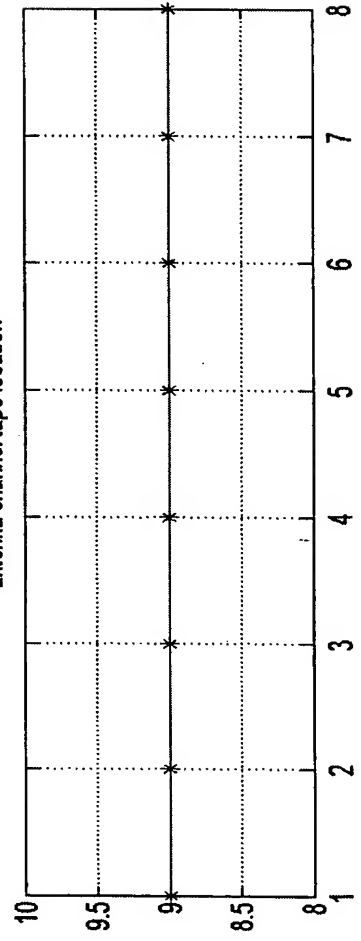


Fig. 8C(3)

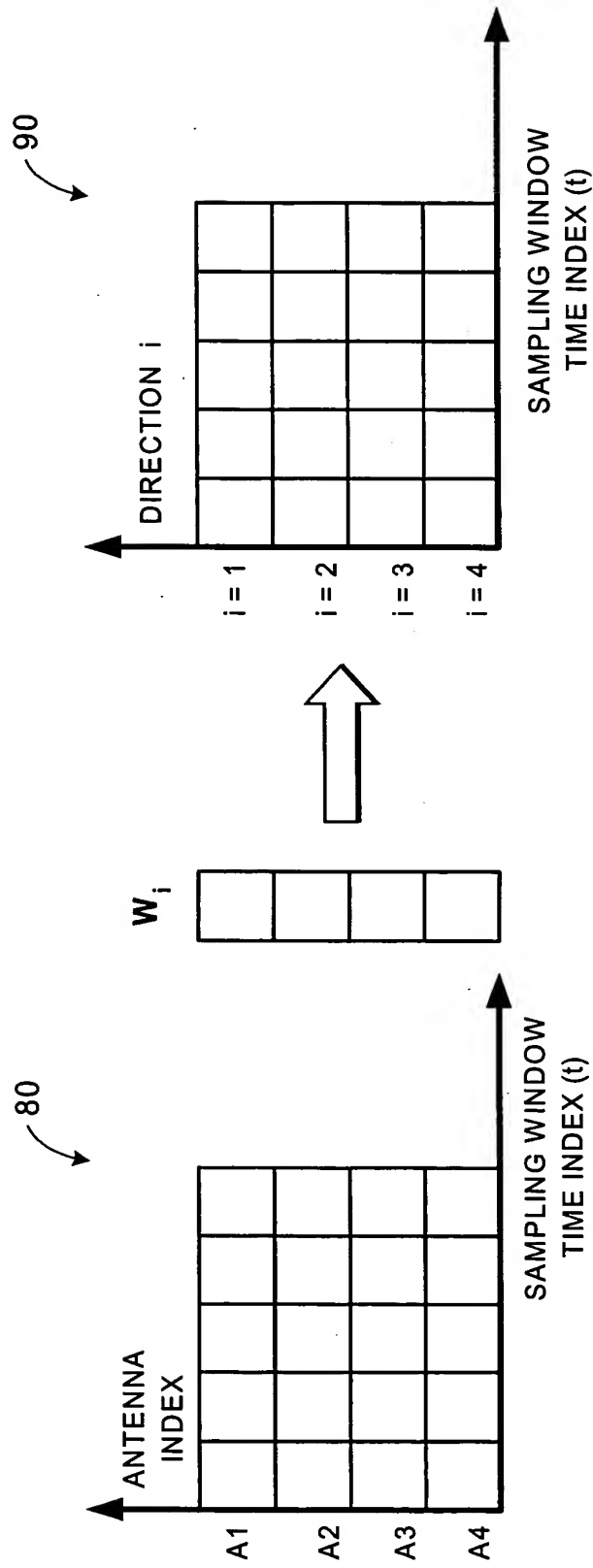


Fig. 9A

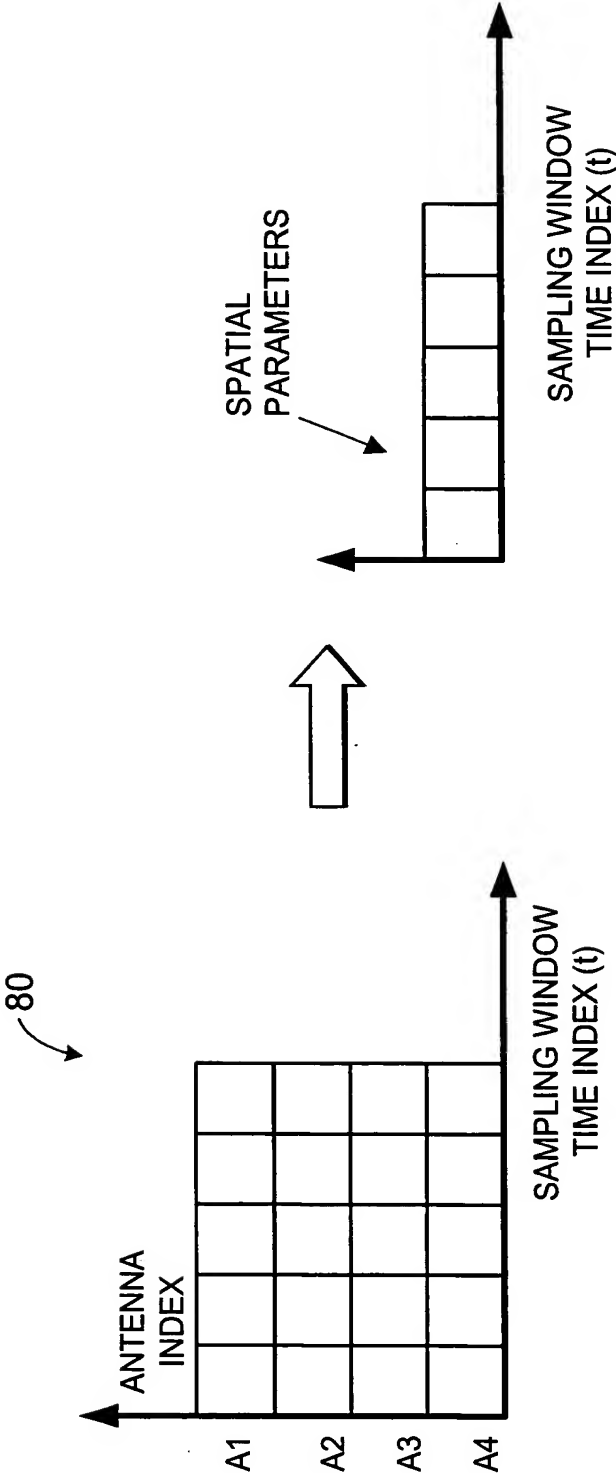


Fig. 9B

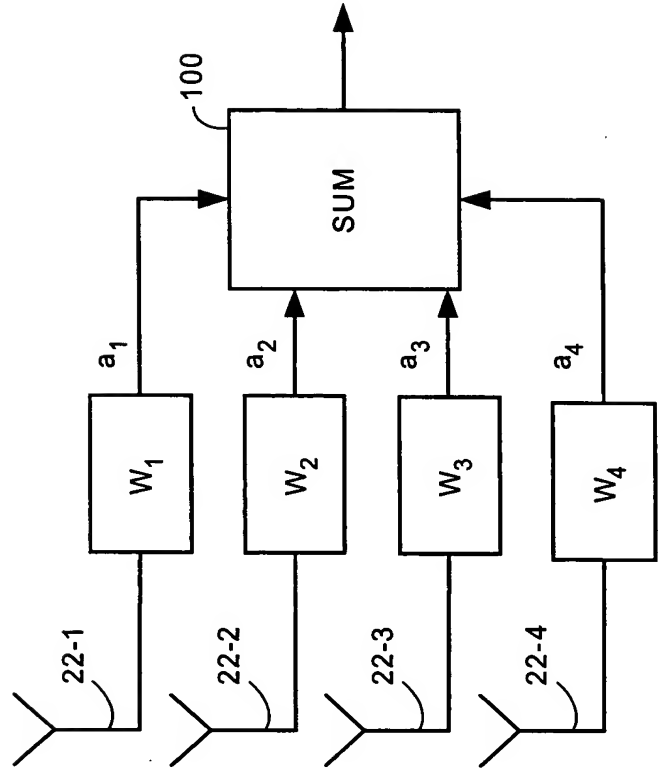


Fig. 12

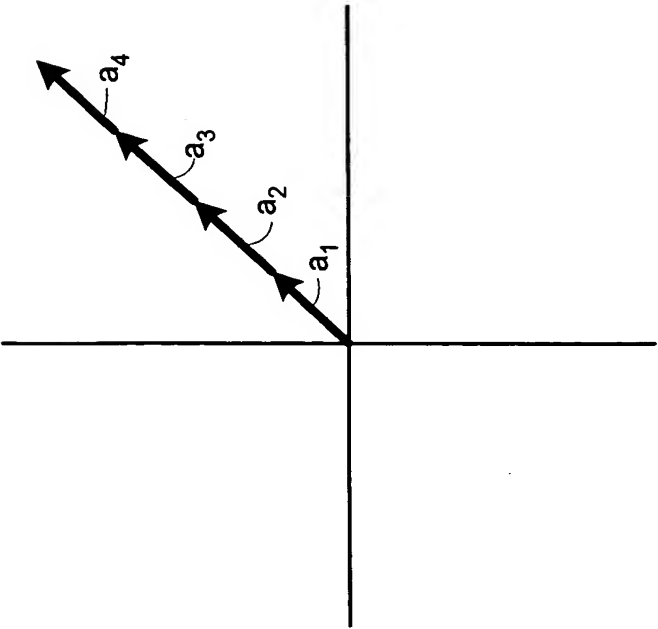
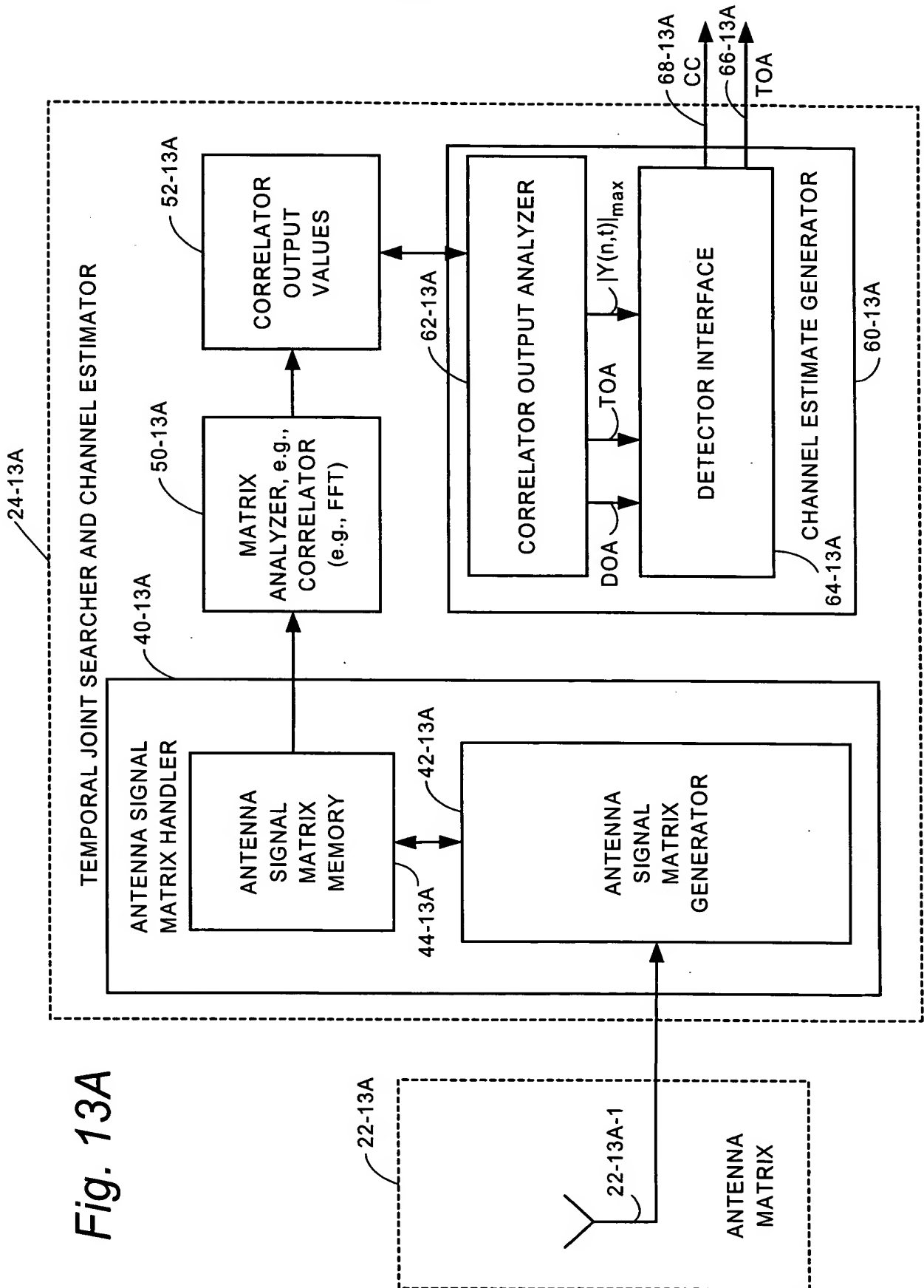
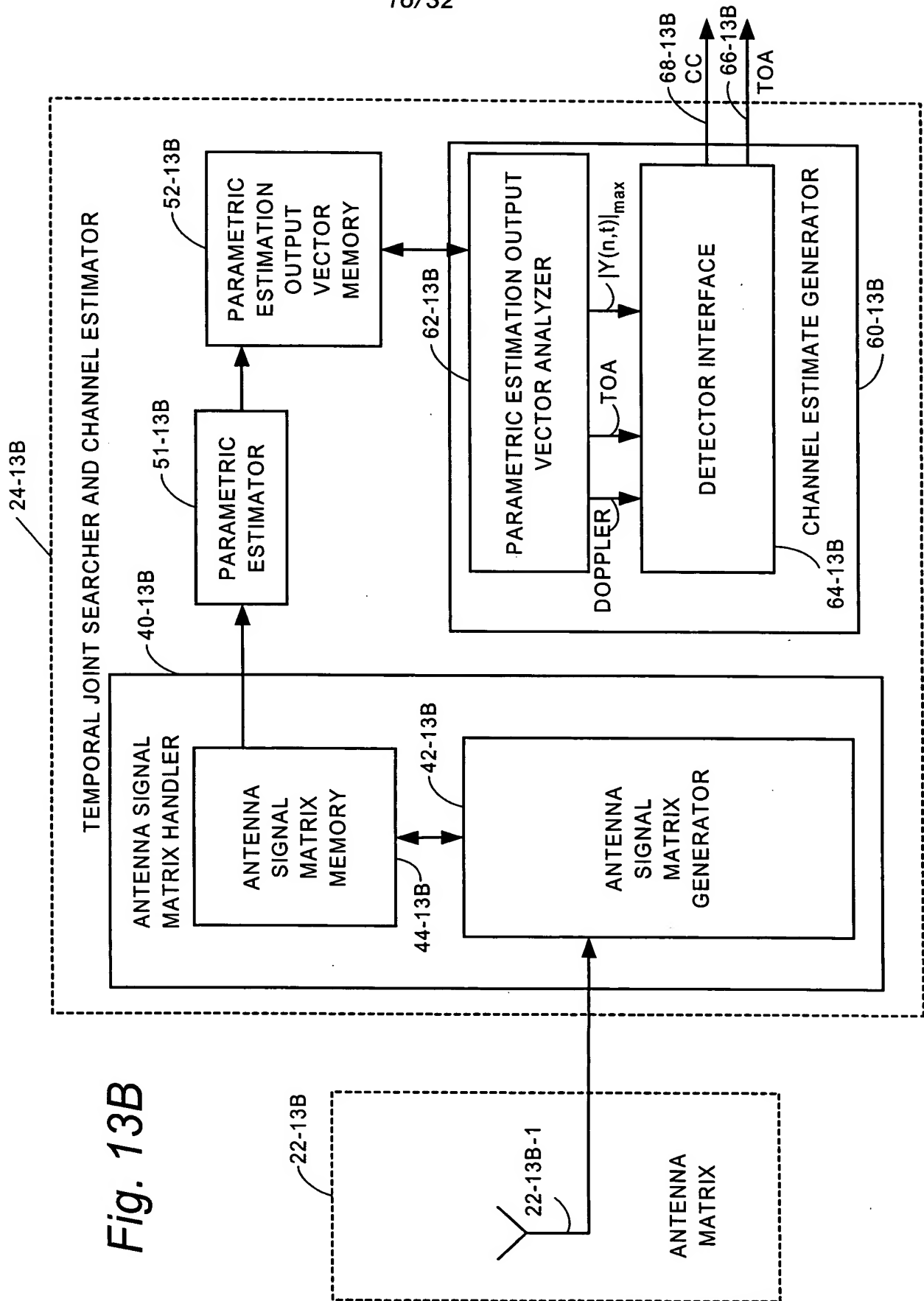


Fig. 11





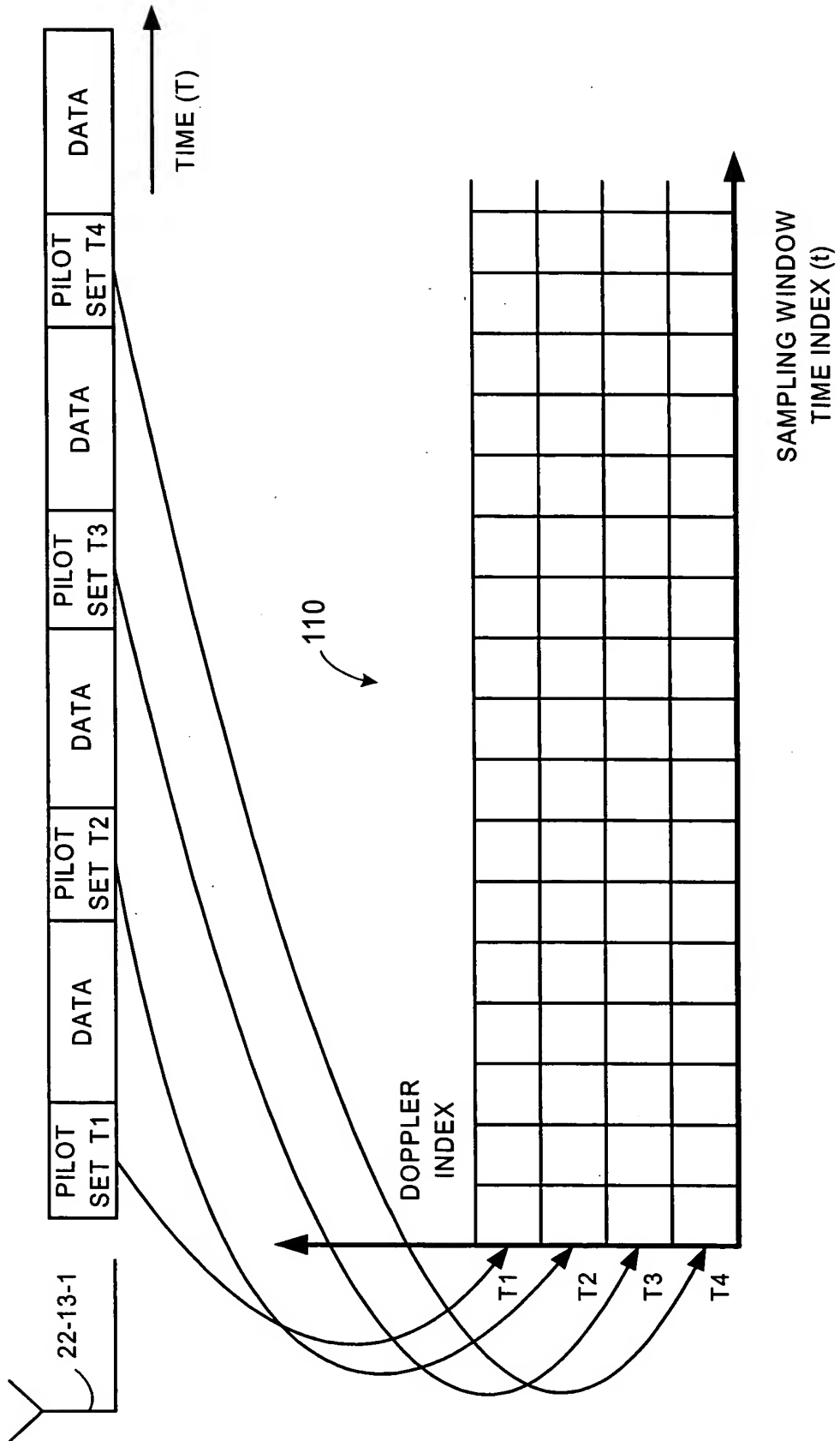
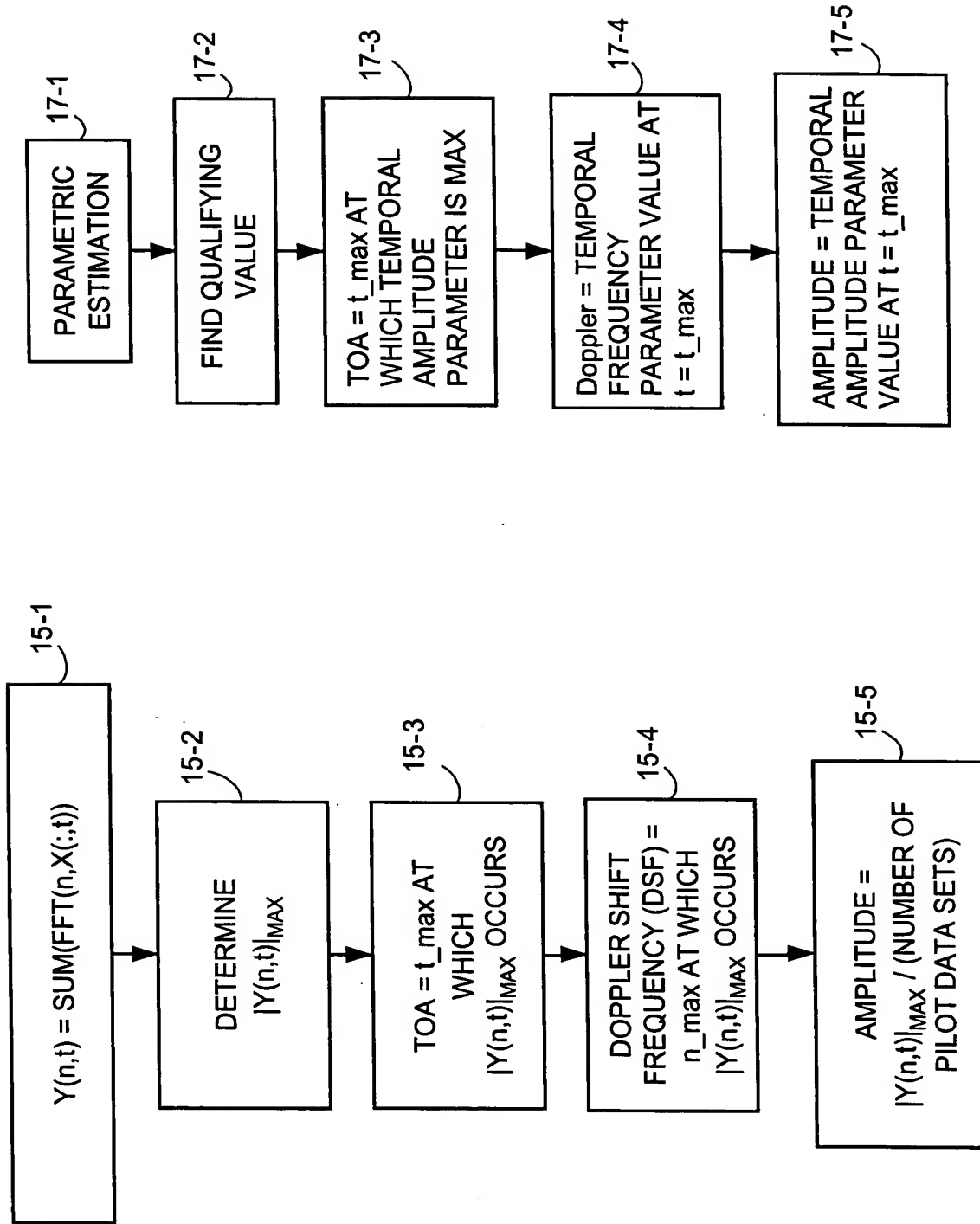


Fig. 14



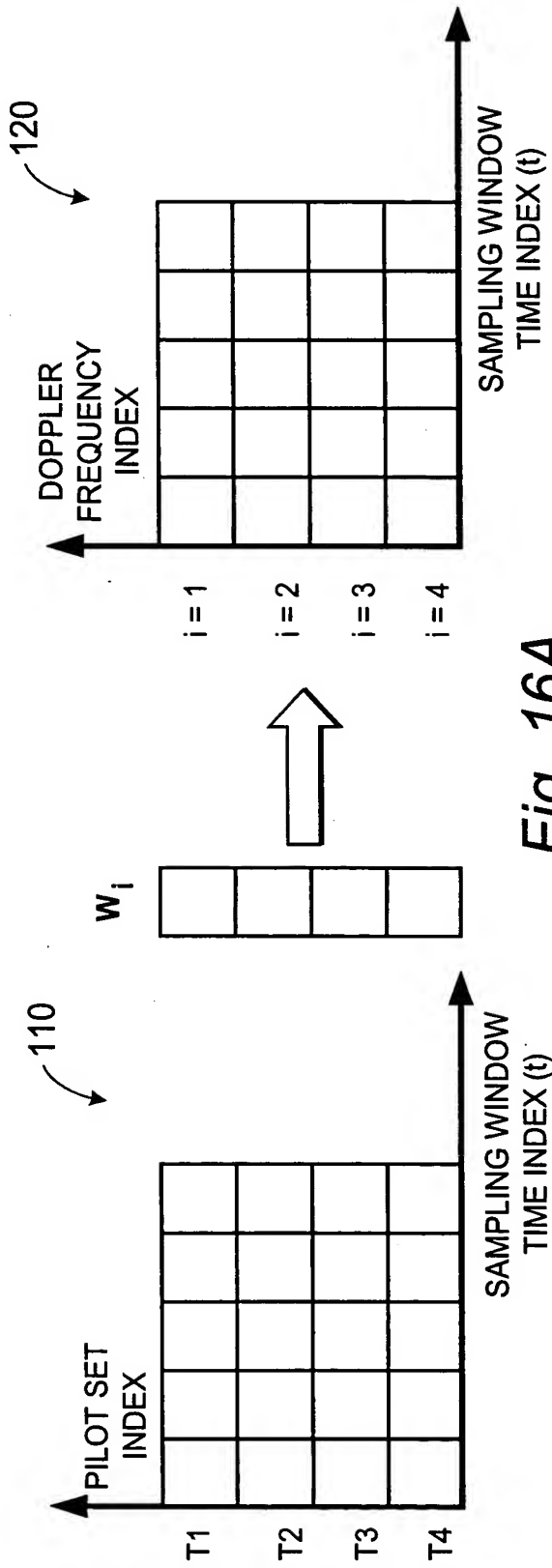


Fig. 16A

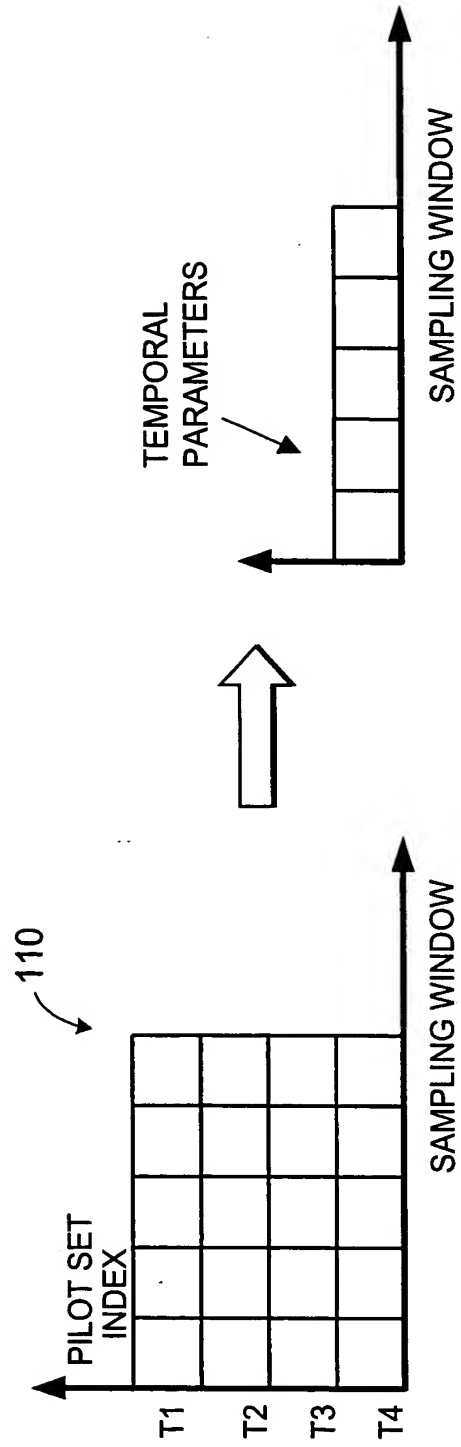
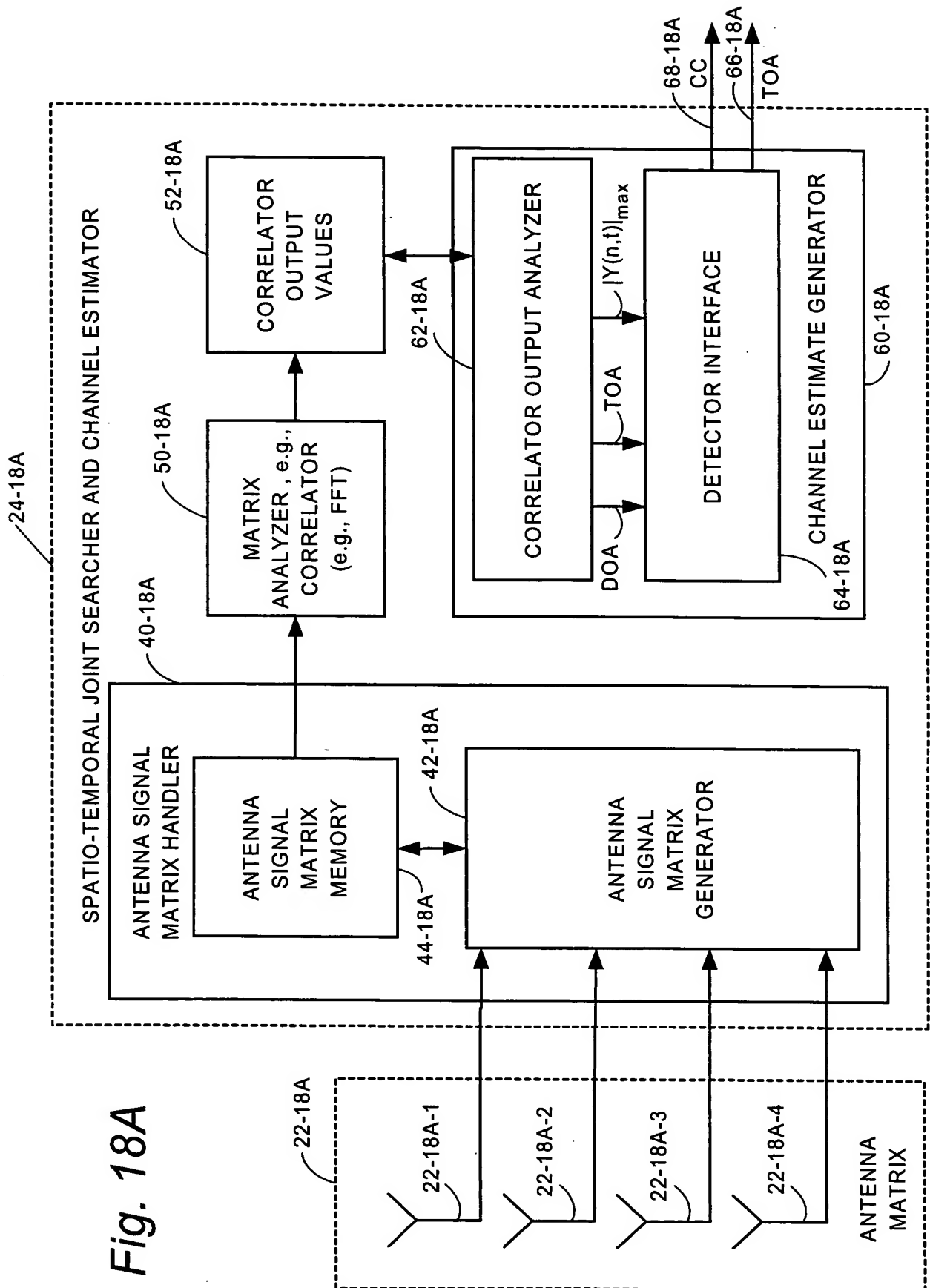
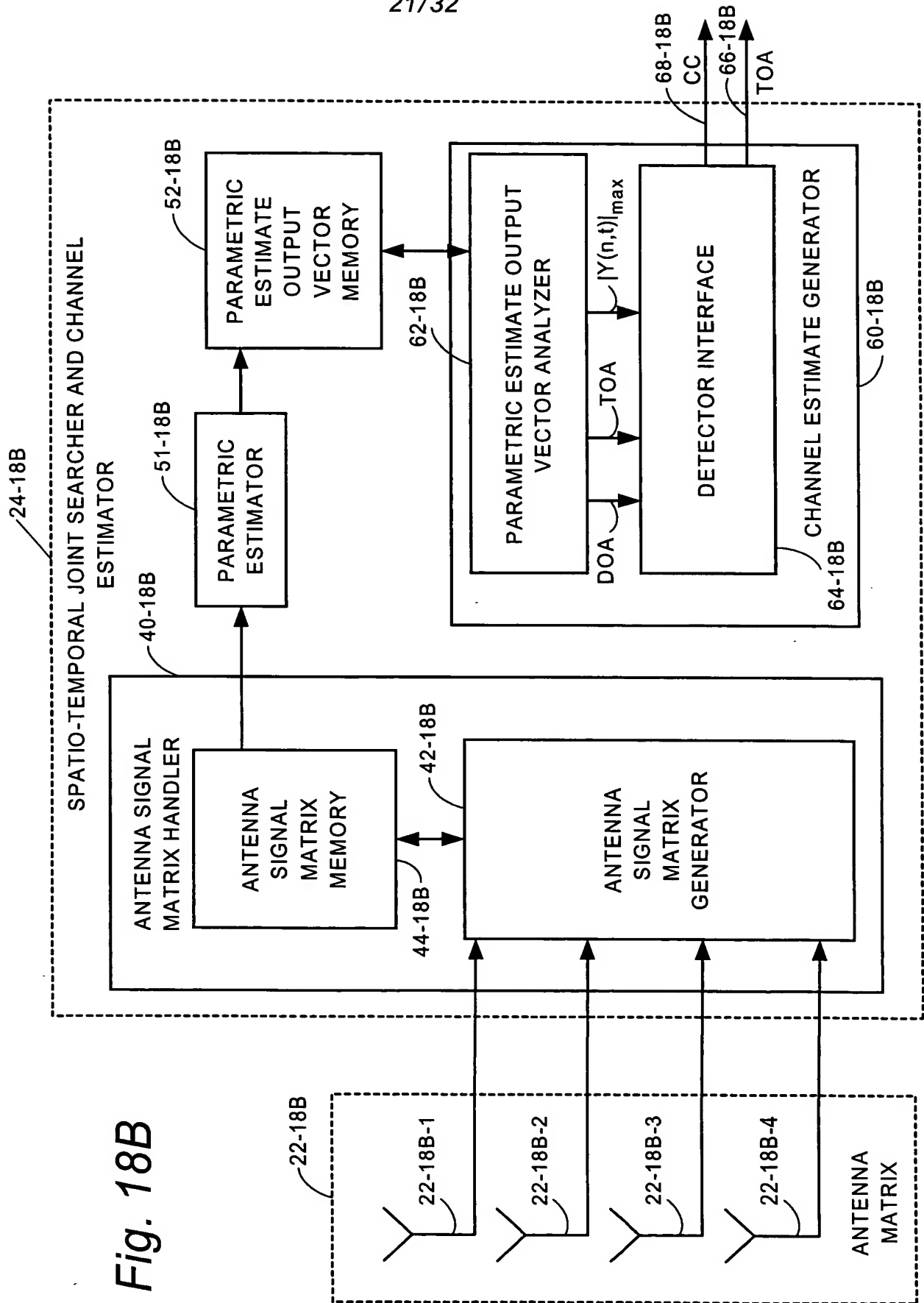
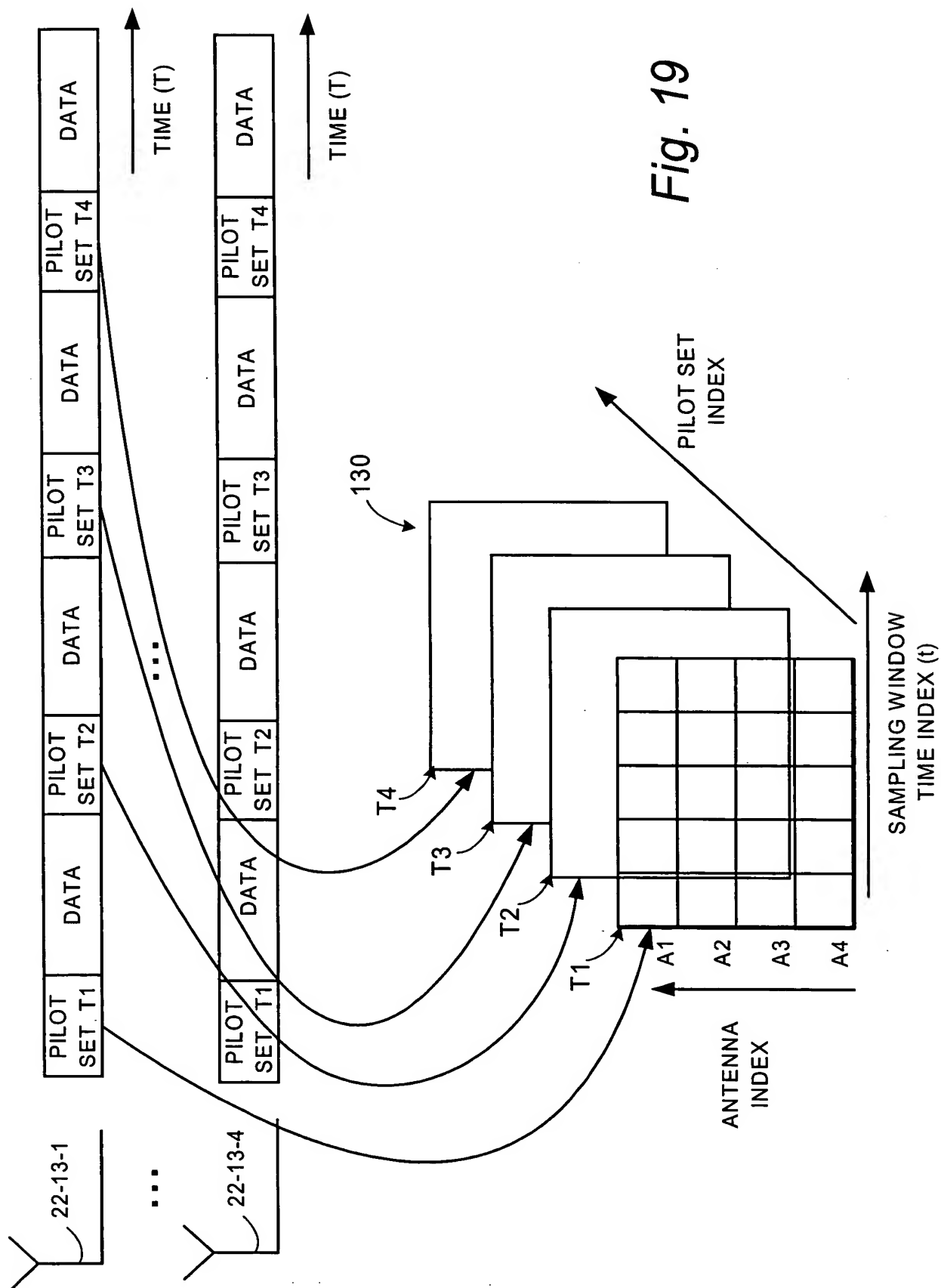
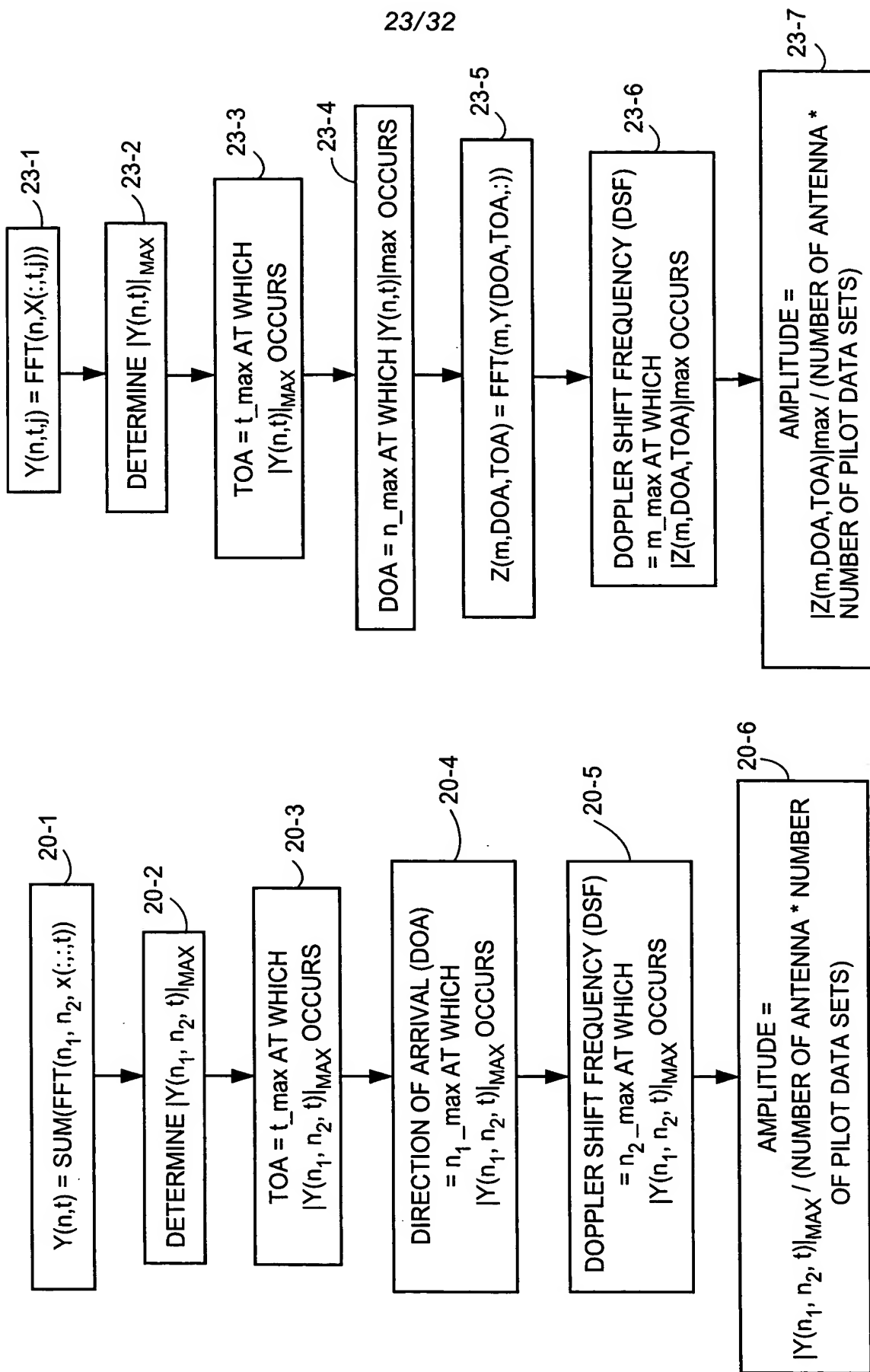


Fig. 16B









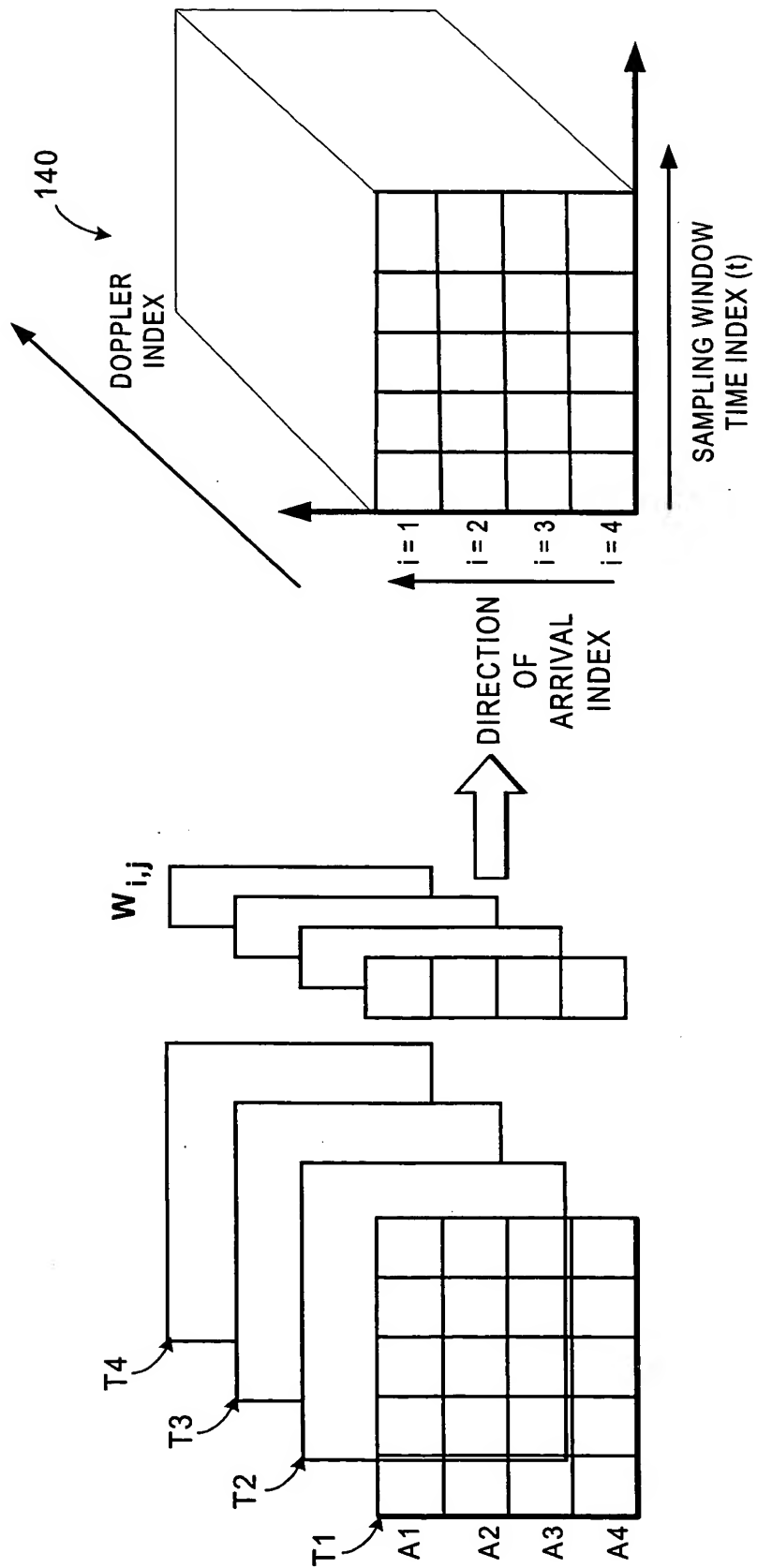


Fig. 21

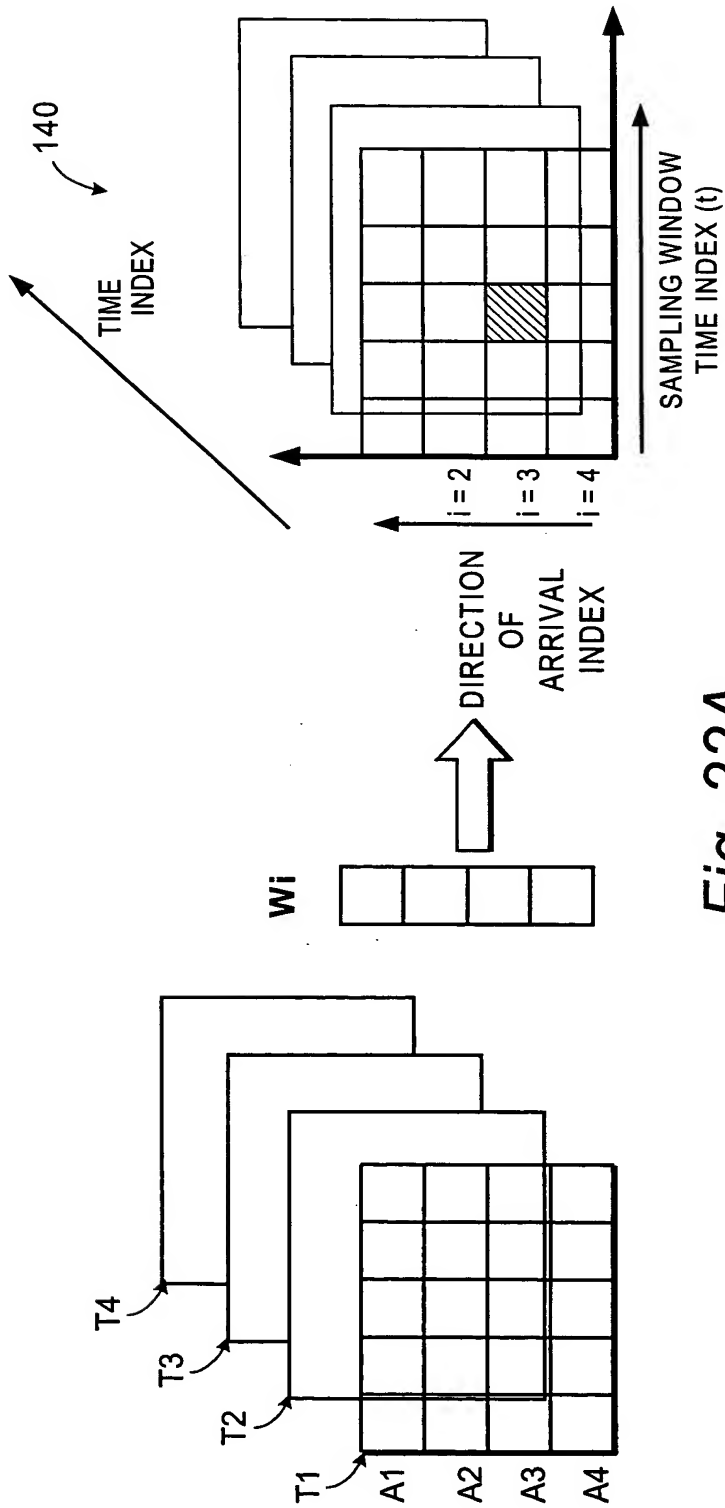


Fig. 22A

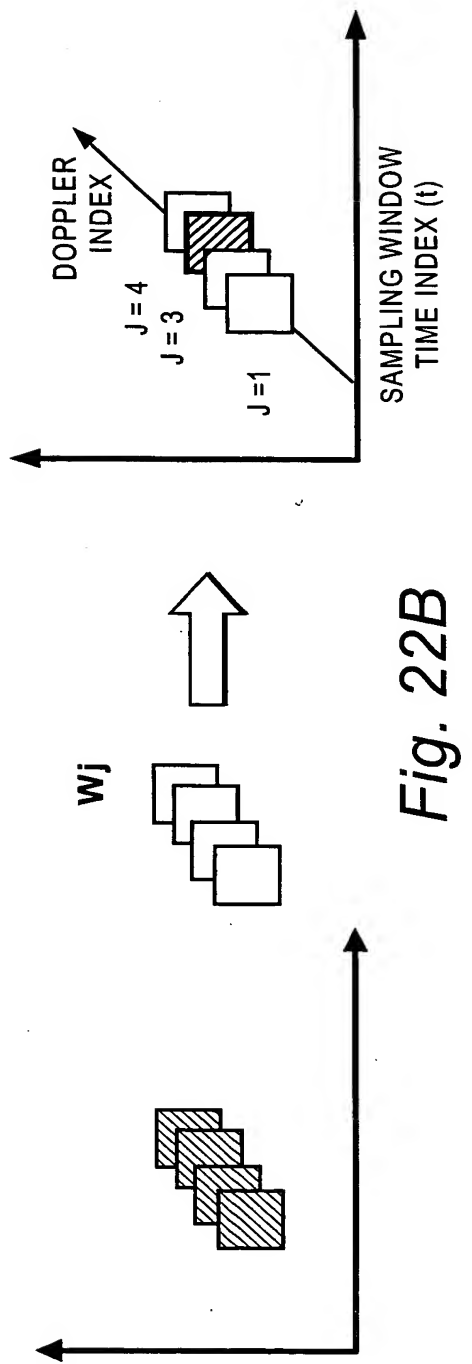


Fig. 22B

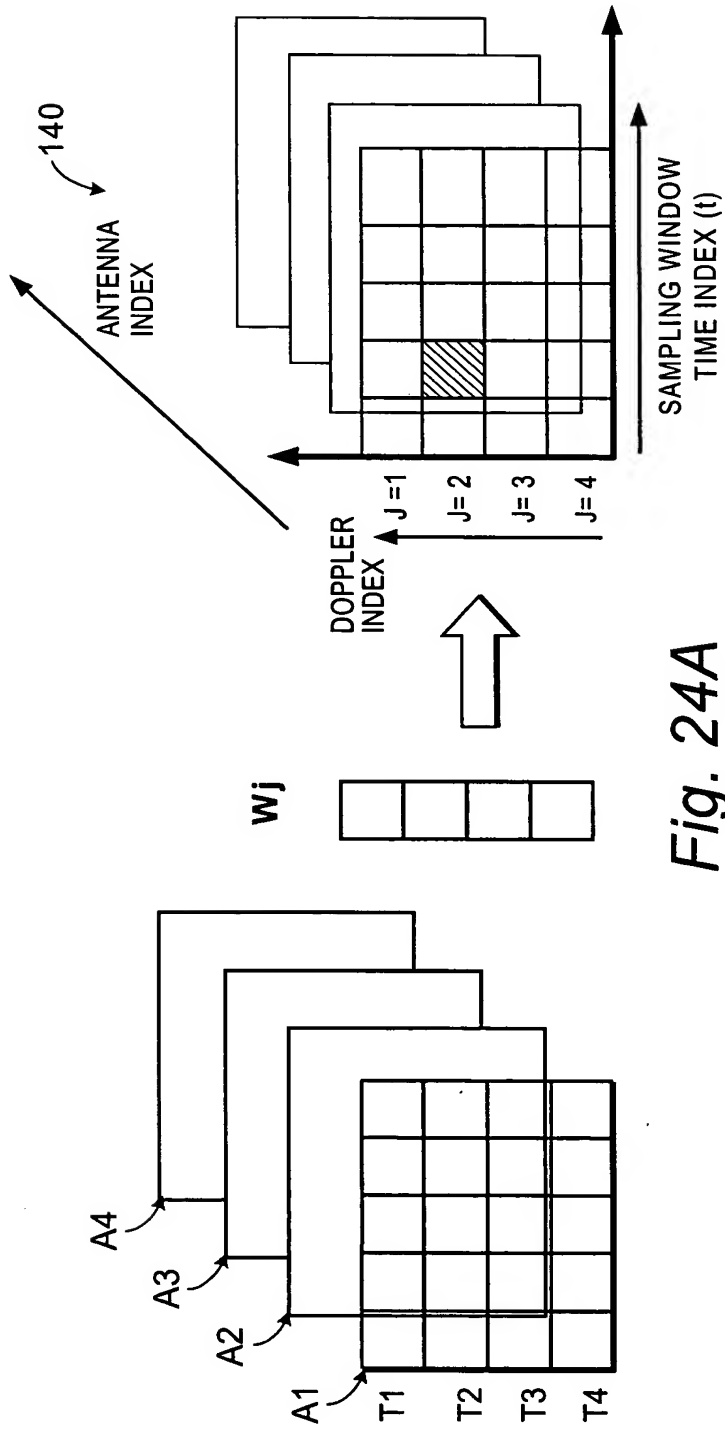


Fig. 24A

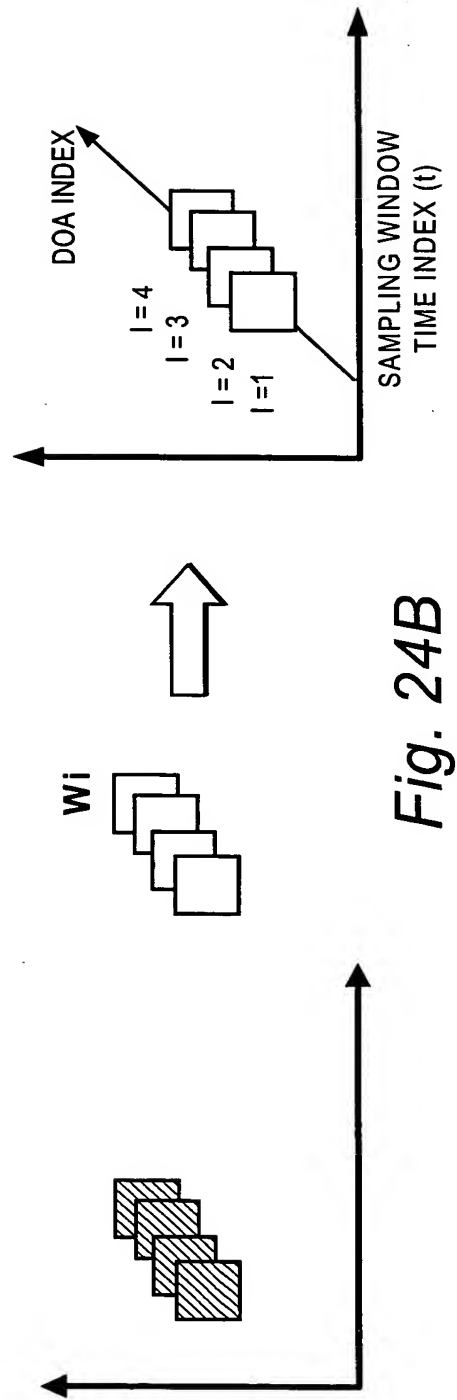


Fig. 24B

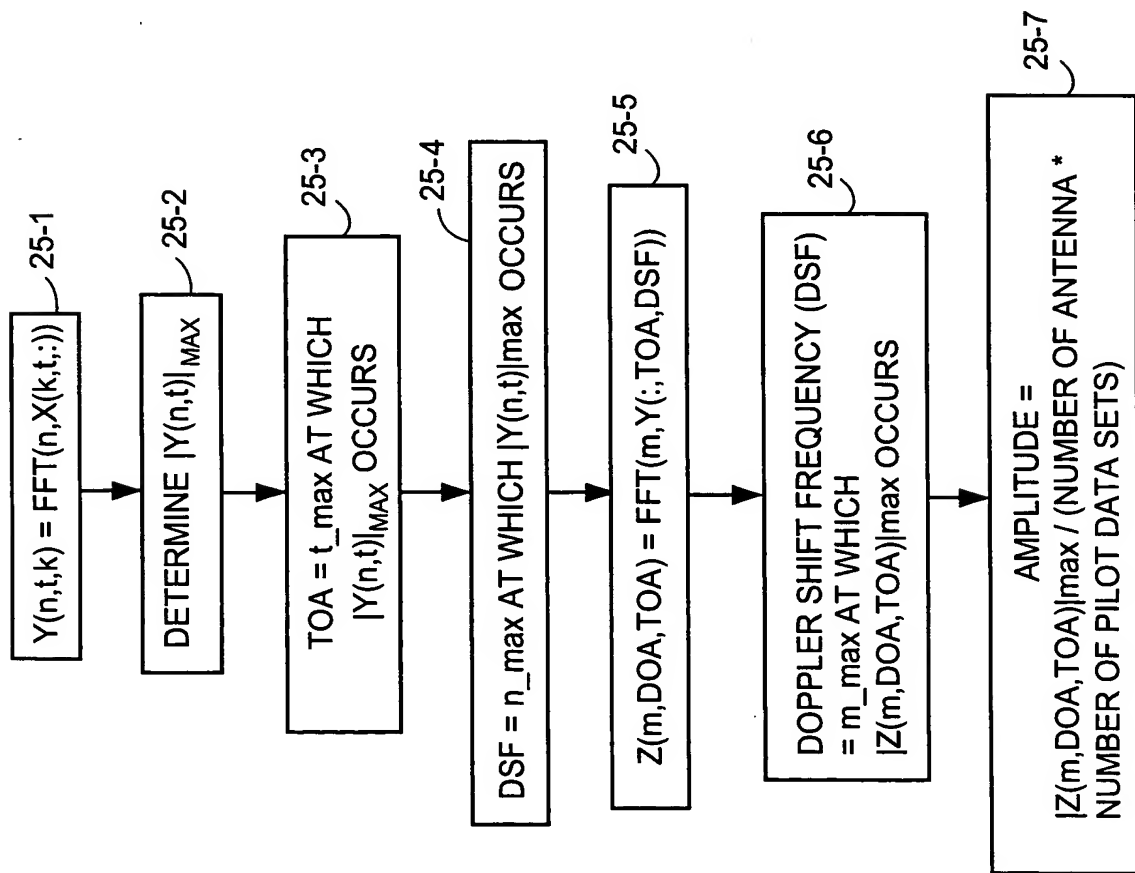


Fig. 25

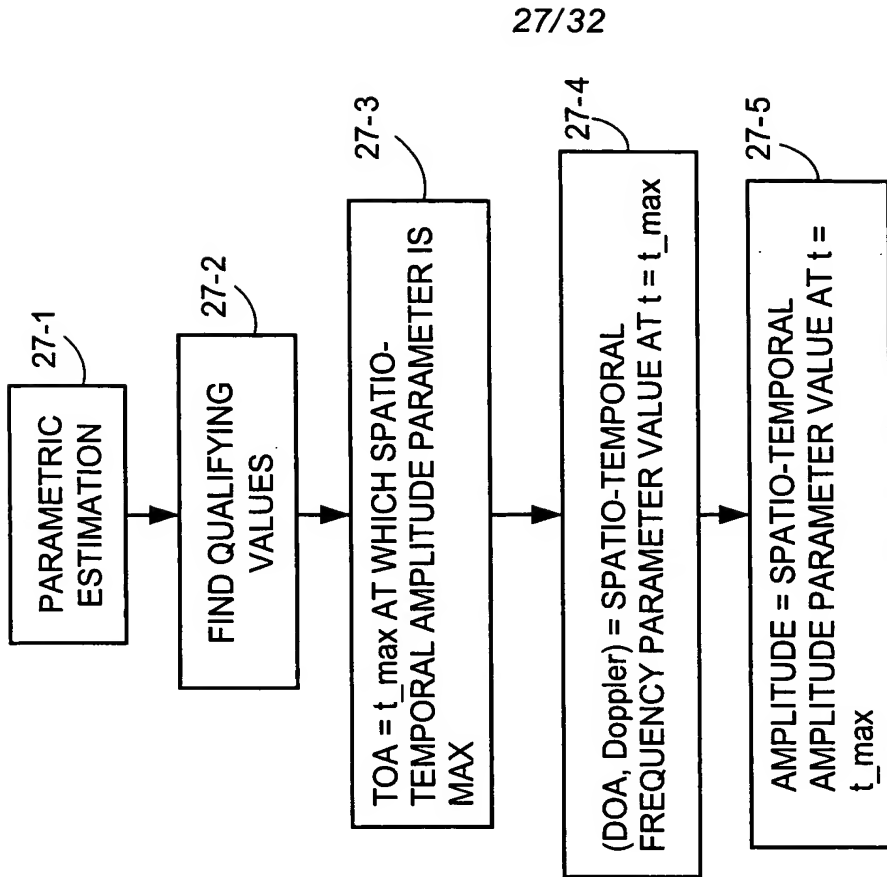


Fig. 27

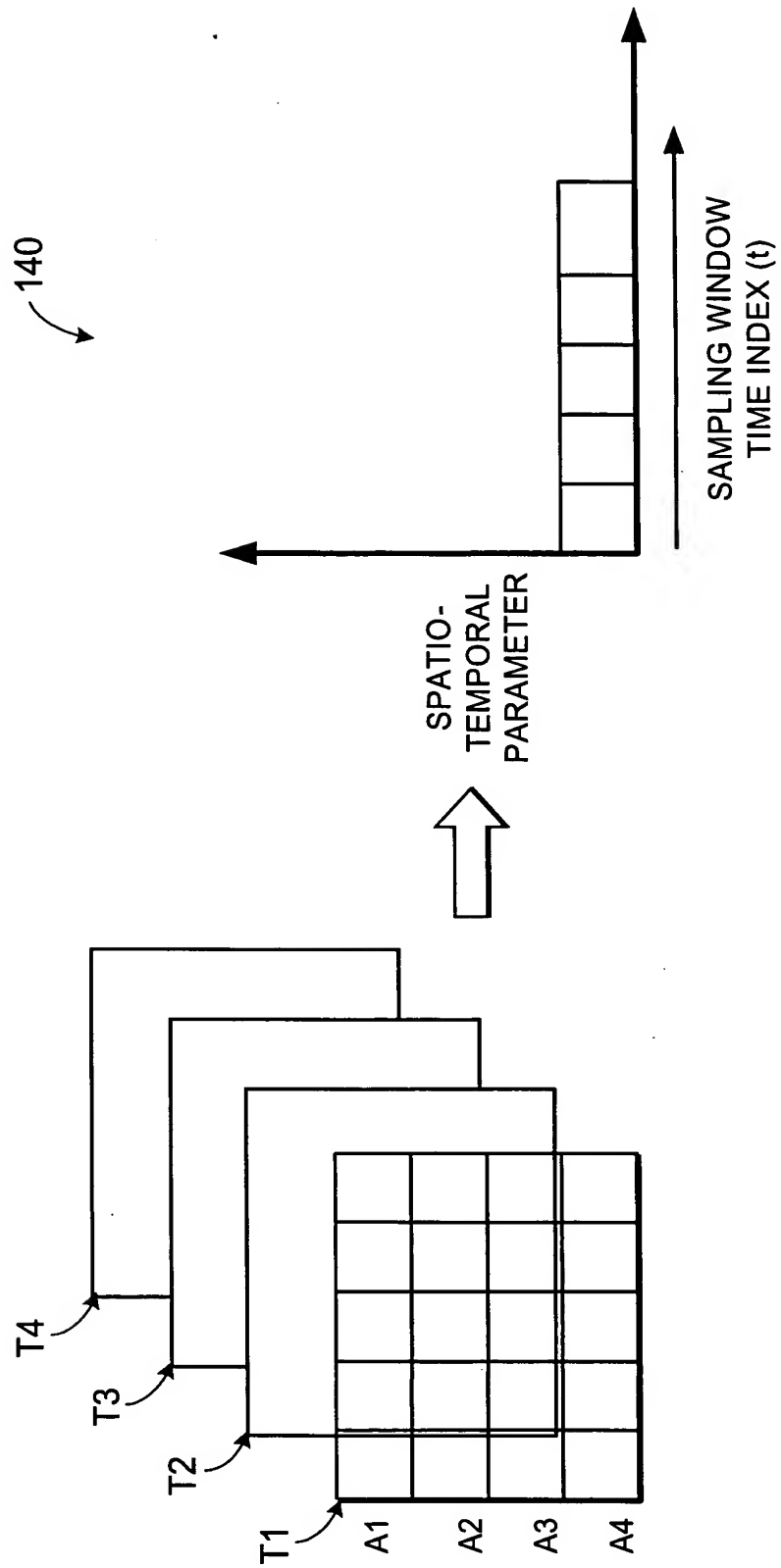


Fig. 26

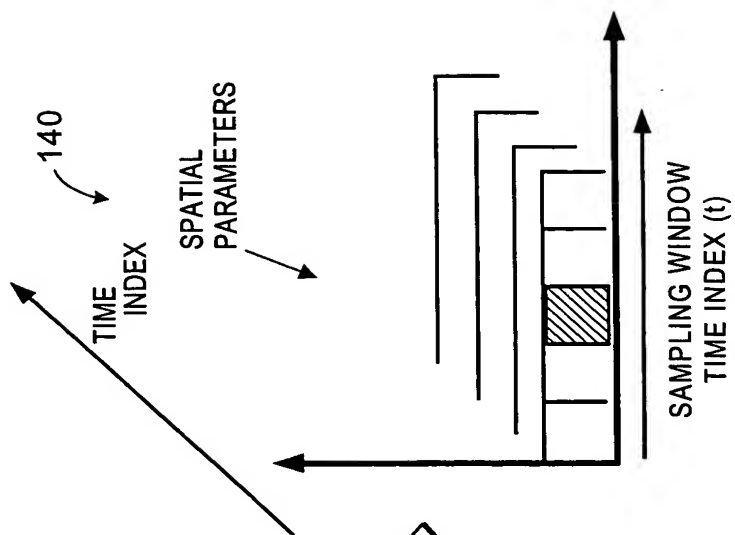


Fig. 28A

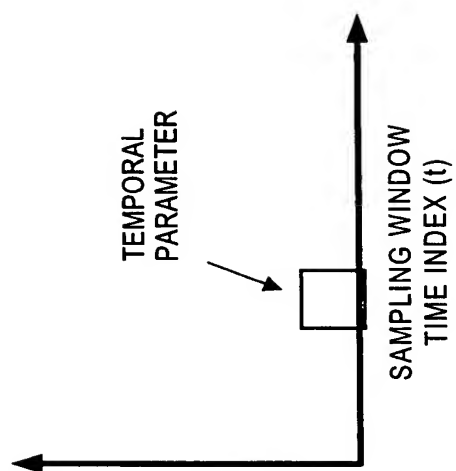


Fig. 28B

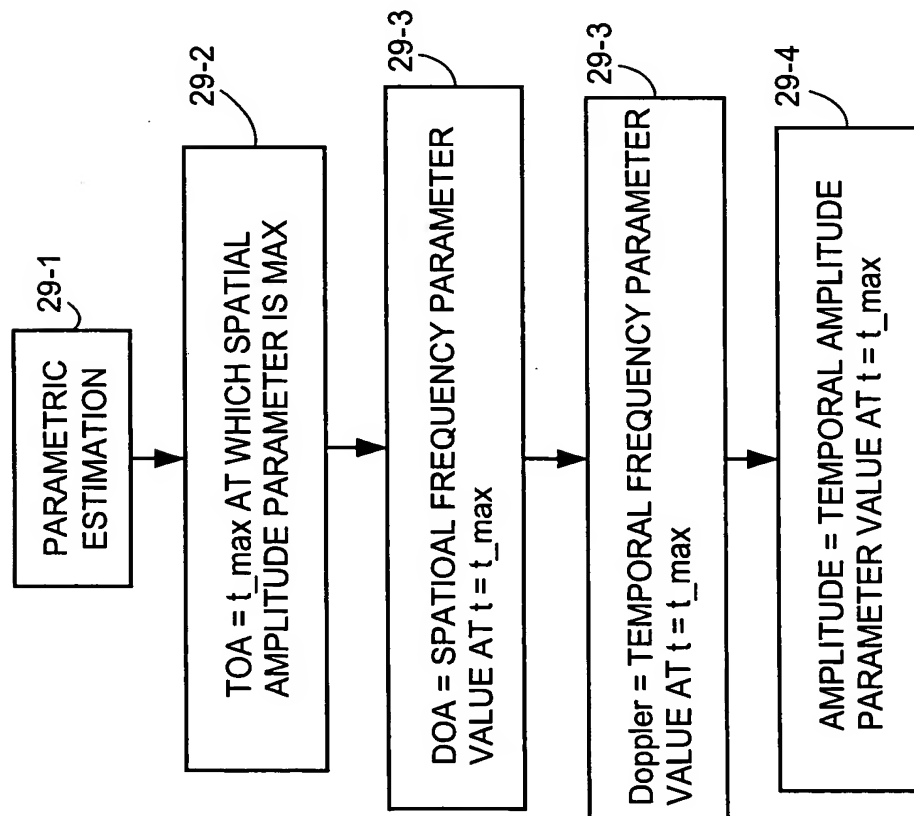


Fig. 29

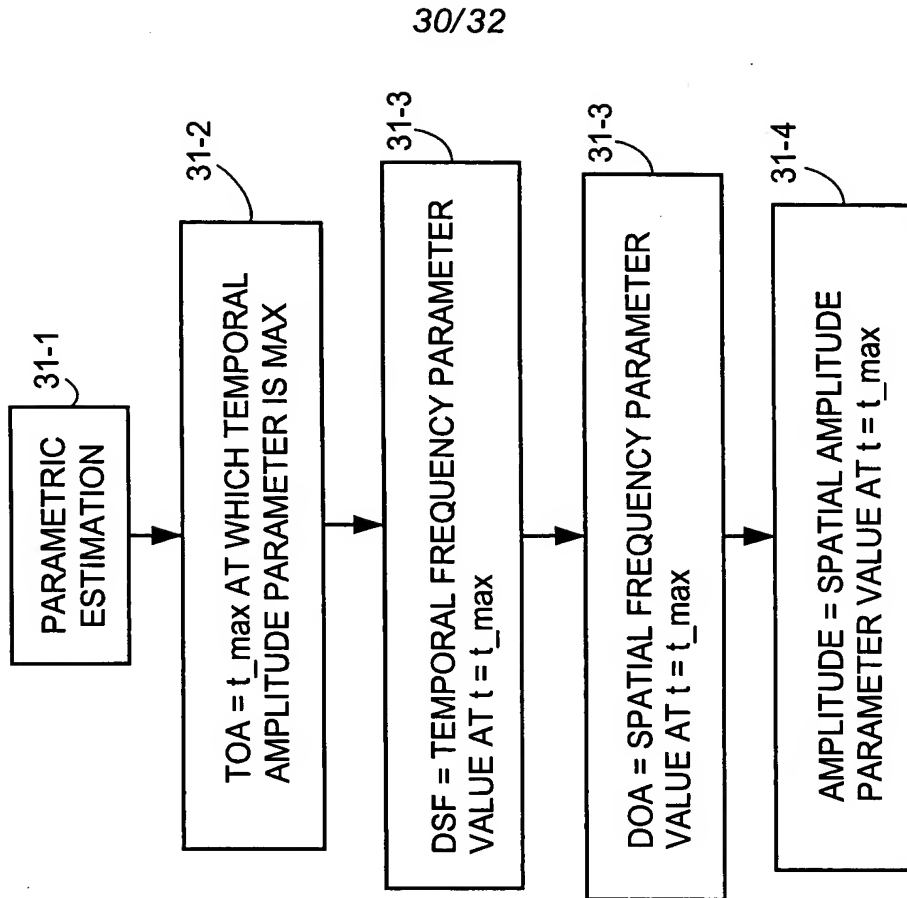


Fig. 31

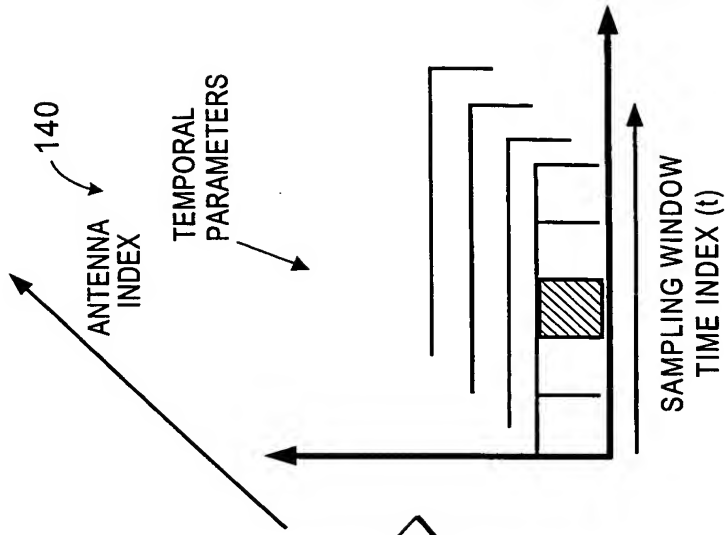


Fig. 30A

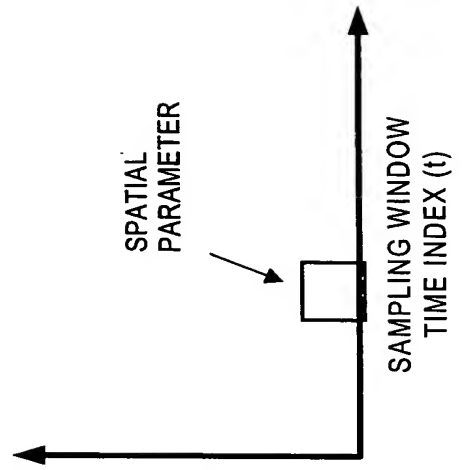


Fig. 30B

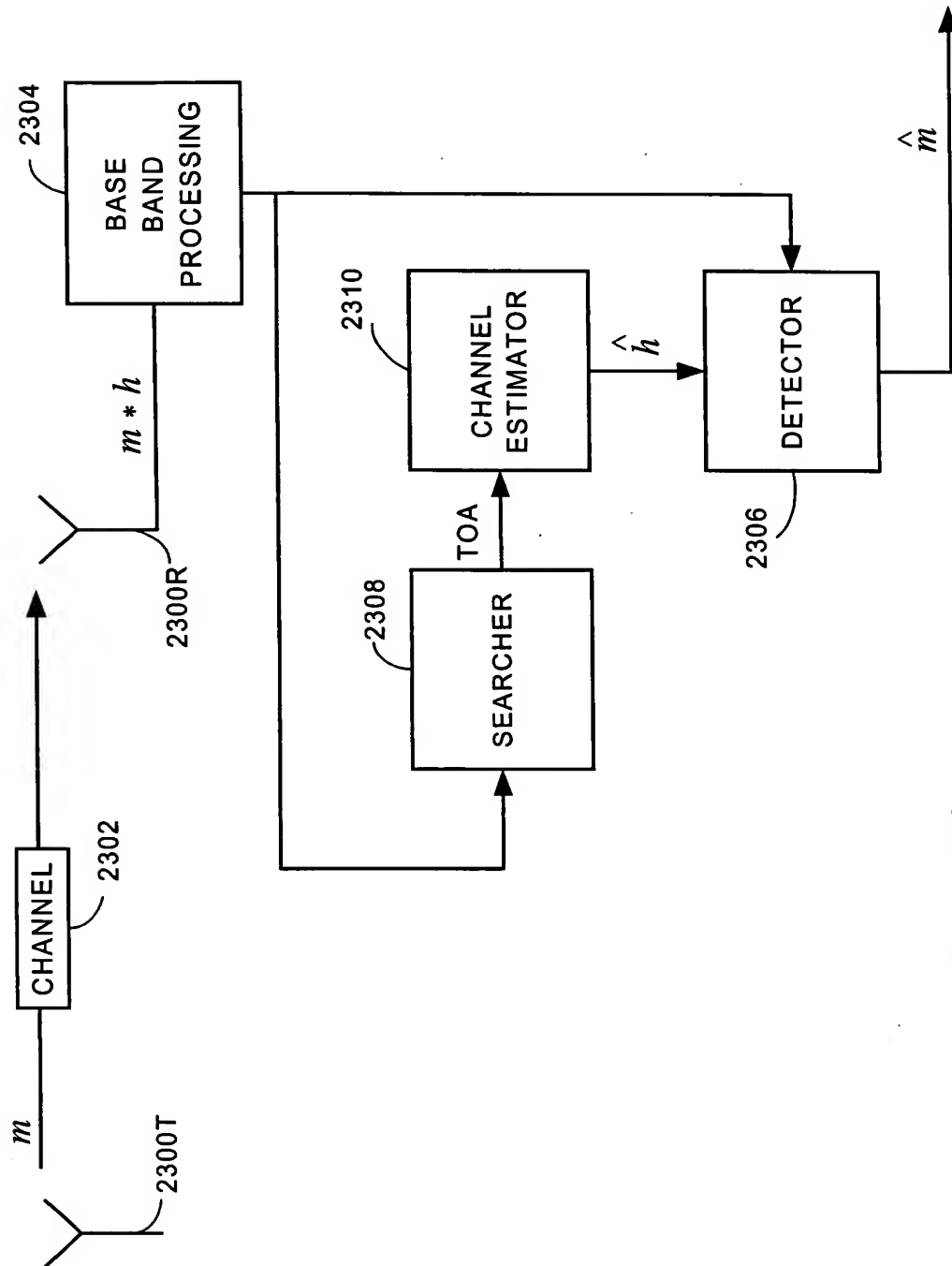


Fig. 32